



อุปการองกรณ์มหาวิทยาลัย

ทุนวิจัย

กองทุนรัชดาภิเษกเพื่อโภช

รายงานวิจัย

การศึกษาฤทธิ์ของสารสกัดบาราคอดจากใบขี้เหล็ก
(Cassia siamea) ที่มีต่อตัวรับชนิด Ligand-gated
ion channels ในเซลล์ประสาทของหนูขาว

โดย

ธงชัย ฤทธิเวด

มกราคม 2546



จุฬาลงกรณ์มหาวิทยาลัย

ทุนวิจัย

กองทุนรัชดาภิเษกสมโภช

รายงานผลการวิจัย

เรื่อง

การศึกษาฤทธิ์ของสารสกัดบำรุงราคօลจาก
ใบบี๊เหล็ก (*Cassia siamea*) ที่มีต่อตัวรับชนิด
ช่องไอออนที่กระตุ้นให้เปิดด้วยลิแกนด์

ในเซลล์ประสาทของหนูขาว :

ตัวรับ gamma-aminobutyric acid และตัวรับ glycine

(Effects of Barakol Extracted from *Cassia siamea*
on Ligand-gated Ion Channels in Rat Neurones :
GABA_A and Glycine Receptors)

โดย

ผศ.ดร. ธงชัย สุขุมวิท

ภาควิชาสรีรวิทยา คณะเภสัชศาสตร์ จุฬาลงกรณ์มหาวิทยาลัย

มิถุนายน พ.ศ. 2545

กิตติกรรมประกาศ

ผู้วิจัยขอขอบคุณ กองทุนวิจัยรัชดาภิเษกสมโภช จุฬาลงกรณ์มหาวิทยาลัย ที่ให้การสนับสนุน
เงินทุนวิจัย ภาควิชาสรีรวิทยา คณะเภสัชศาสตร์ จุฬาฯ ที่ให้การสนับสนุนด้านสถานที่และเครื่องมือใน
การวิจัย หน่วยปฏิบัติการวิจัยประสาทสรีรวิทยาและประสาทเภสัชวิทยา คณะเภสัชศาสตร์ จุฬาฯ ที่ให้
การสนับสนุนด้านเครื่องมือในการวิจัย ศ.ดร.ภาวิช ทองโรจน์ ศ.ดร.บุญยงค์ ตันติศิระ พศ.สำอาง ใจดี
พศ.พงษ์ศักดิ์ ธรรมล้วน ที่ให้การสนับสนุนในด้านต่างๆ ศ.ชัยโย ชัยชาญทิพยุทธ ให้ความสนับสนุน
ในการสักด็อการบาราโคอลจากใบปี๊เหล็ก เรือโภสุเทพ จันทร์เทศ ผู้เป็นผู้ช่วยและเป็นกำลังสำคัญในการ
ทดลอง อาจารย์ บุคลากรและนิสิตบัณฑิตศึกษาของภาควิชาสรีรวิทยา คณะเภสัชศาสตร์ จุฬาฯ ที่ให้การ
ช่วยเหลือในการวิจัย

สถาบันวิทยบริการ
จุฬาลงกรณ์มหาวิทยาลัย

เลขหนัง

เลขทะเบียน 011560

วัน, เดือน, ปี 13 มี.ค. 40

ชื่อโครงการวิจัย การศึกษาฤทธิ์ของสารสกัดบาราโคลจากใบบีบี้เหล็ก (*Cassia siamea*) ที่มีต่อตัวรับชนิดช่องไอออนที่กระตุ้นให้เปิดด้วยลิแกนด์ ในเซลล์ประสาทของหนูขาว : ตัวรับงานอาเอยและตัวรับไกลซีน

ชื่อผู้วิจัย พศ.ดร.ธงชัย สุขสวัสดิ์
เดือนและปี มิถุนายน พ.ศ. 2545

บทคัดย่อ

การศึกษาฤทธิ์ของสารสกัดบาราโคลจากใบบีบี้เหล็กที่มีต่อตัวรับชนิดช่องไอออนที่กระตุ้นให้เปิดด้วยลิแกนด์ ในเซลล์ประสาทของหนูขาว ได้ทำการศึกษาเฉพาะผลที่มีต่อตัวรับงานอาเอยและตัวรับไกลซีน โดยได้ดำเนินการพัฒนาวิธีการแยกเซลล์ประสาทดีจากสมองส่วนhippocampusของหนูขาวพันธุ์วิสตาร์ เพศผู้ อายุ 21-27 วัน เซลล์ประสาทรูปปิรามิดที่แยกได้ยังคงลักษณะทางกายสัณฐาน วิทยาไว้ได้ดีพอกว่าและมีการตอบสนองต่อการรักษาและไกลซีนได้ดีกว่าการรักษาไฟฟ้าที่ไหหล่อในเซลล์แบบทึ่งเซลล์โดยเทคนิคแพทช์แคลมป์ การศึกษาผลของบาราโคลที่มีต่อตัวรับงานอาเอยและตัวรับไกลซีน พบว่าบาราโคล (10-3000 ไมโครโมลาร์) ไม่มีผลกระตุ้นโดยตรงต่อเซลล์ประสาทรูปปิรามิดในการทำให้เกิดกระแสไฟฟ้าที่กระตุ้นให้เกิดจากไกลซีน แต่สามารถเสริมฤทธิ์กระแสไฟฟ้าที่เกิดจากงานอาเอย เมื่อเปรียบเทียบกับไดอะซิเพน พบว่าต้องใช้บาราโคลที่มีความเข้มข้นสูงกว่า (30 ไมโครโมลาร์) จึงให้การเสริมฤทธิ์สูงสุด (ร้อยละ 168.2 ± 20.66) ไกลซีนเทียบกับการเสริมฤทธิ์โดยไดอะซิเพน (1 ไมโครโมลาร์) (ร้อยละ 184.8 ± 9.97) สำหรับเพนโทบานิทาโลโซเดียมมีผลเสริมฤทธิ์สูงสุดที่ความเข้มข้น 300 ไมโครโมลาร์ โดยร้อยละของการเสริมฤทธิ์สูงถึง 482.3 ± 32.54 ซึ่งมากกว่าผลจากบาราโคลและไดอะซิเพน ผลในการเสริมฤทธิ์งานอาของบาราโคลนี้ไม่สามารถยับยั้งด้วยสารฟลูมาเซนิลซึ่งเป็นสารต้านที่บีบริเวณยีดเหนี่ยวบนโซ่ไดอะซิพีนบนตัวรับงานอาเอย แสดงให้เห็นว่าการเสริมฤทธิ์งานอาของบาราโคลที่ตัวรับงานอาเอย ไม่ผ่านบีบริเวณยีดเหนี่ยวบนโซ่ไดอะซิพีน ในขณะที่สารบาราโคลความเข้มข้นสูง 1000-3000 ไมโครโมลาร์ จะยับยั้งกระแสไฟฟ้าที่เกิดจากงานอาเอยและขนาด 100-1000 ไมโครโมลาร์ จะยับยั้งกระแสไฟฟ้าที่เกิดจากไกลซีน ซึ่งลักษณะการยับยั้งกระแสไฟฟ้าที่เกิดจากงานอาเอยและไกลซีนของบาราโคลความเข้มข้นสูง มีลักษณะคล้ายคลึงกับสารต้านชนิดแบ่งขันของตัวรับงานอาเอยและไกลซีน คือ ไบคุคูลินและสตริกนินตามลำดับ สำหรับกลไกการออกฤทธิ์ของบาราโคลในการเสริมฤทธิ์งานอาที่ตัวรับงานอาเอยในความเข้มข้นต่ำ และการยับยั้งงานอาและไกลซีนในความเข้มข้นสูง ยังคงต้องการการศึกษาเพิ่มเติมต่อไป

Project Title	Effects of barakol extracted from <i>Cassia siamea</i> on ligand-gated ion channels in rat neurones : GABA _A and glycine receptors
Name of Investigator	Assistant Professor Dr. Thongchai Sooksawate
Year	June 2002

Abstract

The study of the effects of barakol extracted from *Cassia siamea* on ligand-gated ion channels in rat neurones was performed, in this study, only the effects of barakol on GABA_A and glycine receptors. The method of acute dissociation of hippocampal neurones from male Wistar rats aged 21-27 days was developed. The acutely dissociated hippocampal pyramidal neurones still preserved their morphological structure. The neurones could also response well to give the inward currents induced by gamma-aminobutyric acid (GABA) and glycine measured by whole-cell application of the patch clamp technique. The effects of barakol on the GABA_A and the glycine receptors were also performed on the neurones using the whole-cell patch clamp technique. Barakol alone (10-3000 μ M) did not induce inward or outward currents in these neurones. Barakol at low concentrations (1-30 μ M) did not have any effect on glycine-induced currents but it enhanced GABA-induced currents. The maximal potentiation of GABA-induced currents by 30 μ M barakol (168.2 ± 20.66 , n=13) was slightly lower than by 1 μ M diazepam ($184.8.2 \pm 9.97$, n=15). The maximal potentiation of GABA-induced currents by 300 μ M pentobarbital sodium (482.3 ± 32.54 , n=8) was higher than by 1 μ M diazepam or by 30 μ M barakol. The potentiation of GABA-induced currents by barakol could not inhibit by flumazenil, a benzodiazepine antagonist. This result indicated that the potentiation GABA-induced currents by barakol does not act via benzodiazepine site on the GABA_A receptors. However, the high concentrations of barakol inhibited both GABA- (1000-3000 μ M barakol) and glycine-induced (100-1000 μ M barakol) currents. These inhibitory effects of high concentrations of barakol resembled the inhibitory effects of GABA-induced currents by a GABA competitive antagonist bicuculline and of glycine-induced currents by a glycine competitive antagonist strychnine. The mechanisms of the potentiation and inhibition of GABA-induced currents and inhibition of glycine-induced currents by barakol still remain to be further investigated.

สารบัญ

หน้า

กิตติกรรมประกาศ	ii
บทคัดย่อ	iii
Abstract	iv
สารบัญ	v
รายการภาพประกอบ	vi
รายการสัญลักษณ์	ix
 บทนำ	 1
การสำรวจแนวความคิดและการวิจัยที่เกี่ยวข้อง	2
วิธีการวิจัย	7
ผลการวิจัย	10
การอภิปรายผล	38
ข้อสรุป	44
ข้อเสนอแนะ	45
 ส่วนอ้างอิง	 46

สถาบันวิทยบริการ จุฬาลงกรณ์มหาวิทยาลัย

รายการภาพประกอบ

รูปที่	หน้า
1. โครงสร้างทางเคมีของ A. สารบารากอล (Barakol) B. แอนไฮโดรบารากอล (Anhydrobarakol) และ C. บารากอลไฮโดรคลอไรด์ (Barakol hydrochloride)	2
2. ภาพถ่ายภายในห้องจุลทรรศน์ ของเซลล์ประสาทที่แยกออกจากทันทีจากสมองส่วน Hippocampus ของหนูขาว	10
3. ภาพบันทึกของกระแสไฟฟ้าที่ไหลเข้าเซลล์ (Inward currents) ในเซลล์ประสาทรูปปิรามิดที่แยกได้ทันทีจากสมองส่วน Hippocampus ของหนูขาว จากการให้ GABA ความเข้มข้น 0.3-300 μM	11
4. ภาพบันทึกแสดงผลของ Bicuculline methochloride 5 μM ในการยับยั้งฤทธิ์ของ GABA ความเข้มข้น 3-300 μM ที่ทำให้เกิดกระแสไฟฟ้าที่ไหลเข้าเซลล์ (Inward currents)	12
5. ภาพบันทึกแสดงผลของ Picrotoxinin 10 μM ในการยับยั้งฤทธิ์ของ GABA ความเข้มข้น 1-1000 μM ที่ทำให้เกิดกระแสไฟฟ้าที่ไหลเข้าเซลล์ (Inward currents)	13
6. GABA concentration-response curve ที่ได้จากการให้ GABA ความเข้มข้น 0.3-300 μM ไปยังเซลล์ประสาทรูปปิรามิด	14
7. GABA concentration-response curve แสดงการยับยั้งฤทธิ์ของการตัวหาร bicuculline methochloride (BMC)	15
8. GABA concentration-response curve แสดงการยับยั้งฤทธิ์ของ GABA ด้วยสาร picrotoxinin	16
9. ภาพบันทึกแสดงผลของ Diazepam 1 μM ในการเสริมฤทธิ์ของ GABA ความเข้มข้น 0.3-1000 μM ที่ทำให้เกิดกระแสไฟฟ้าที่ไหลเข้าเซลล์ (Inward currents)	17
10. ภาพบันทึกแสดงผลของ Pentobarbital sodium (PB) 10 μM ในการเสริมฤทธิ์ของ GABA ความเข้มข้น 0.3-1000 μM ที่ทำให้เกิดกระแสไฟฟ้าที่ไหลเข้าเซลล์ (Inward currents)	18
11. GABA concentration-response curve แสดงการเสริมฤทธิ์ของการตัวหาร 0.3 และ 1 μM Diazepam (DZP)	19
12. GABA concentration-response curve แสดงการเสริมฤทธิ์ของการตัวหาร 10 และ 30 μM Pentobarbital sodium (PB)	20
13. ภาพบันทึกแสดงผลกระตุ้นโดยตรงของ Pentobarbital sodium 30-1000 μM ต่อตัวรับทราบเชิงกลที่ทำให้เกิดกระแสไฟฟ้าที่ไหลเข้าเซลล์ (Inward currents)	20

14. ภาพบันทึกของกระแสไฟฟ้าที่ไหลเข้าเซลล์ (Inward currents) ในเซลล์ประสาಥรูปปิรามิดที่แยกได้ทันทีจากสมองส่วน Hippocampus ของหนูขาว จากการให้ ไกลซิน ความเข้มข้น 3-3000 μM	21
15. ภาพบันทึกแสดงผลของ Strychnine 5 μM ในการยับยั้งฤทธิ์ของ Glycine ความเข้มข้น 3-3000 μM ที่ทำให้เกิดกระแสไฟฟ้าที่ไหลเข้าเซลล์ (Inward currents)	22
16. Glycine concentration-response curve ที่ได้จากการให้ Glycine ความเข้มข้น 3-3000 μM ไปยังเซลล์ประสาಥรูปปิรามิด	23
17. Glycine concentration-response curve แสดงการยับยั้งฤทธิ์ของไกลซินด้วยสาร strychnine	24
18. ภาพบันทึกแสดงผลของบาราโคต ความเข้มข้น 10 μM ในการเสริมฤทธิ์ของ GABA ความเข้มข้น 0.3-300 μM ที่ทำให้เกิดกระแสไฟฟ้าที่ไหลเข้าเซลล์ (Inward currents)	25
19. ภาพบันทึกแสดงผลบาราโคต ความเข้มข้น 30-3000 μM ไม่ทำให้เกิดกระแสไฟฟ้าผ่านเยื่อหุ้มเซลล์ (membrane currents)	26
20. ผลของบาราโคต 1 และ 10 μM ที่มีต่อ GABA concentration-response curve ที่ได้จากการให้ GABA ความเข้มข้น 0.3-300 μM ไปยังเซลล์ประสาಥรูปปิรามิด	26
21. ผลของบาราโคต (1-3000 μM , Barakol), Diazepam (0.001-1000 μM , DZP), และ Pentobarbital sodium (10-1000 μM , PB) ที่มีต่อกระแสที่เกิดจากการให้ 3 μM GABA ไปยังเซลล์ประสาಥรูปปิรามิด	27
22. ภาพบันทึกแสดงผลของบาราโคต (Barakol), ความเข้มข้น 10-3000 μM ในการเสริมฤทธิ์ของ GABA ความเข้มข้น 3 μM ที่ทำให้เกิดกระแสไฟฟ้าที่ไหลเข้าเซลล์ (Inward currents)	28
23. ภาพบันทึกแสดงผลของ Diazepam (DZP) ความเข้มข้น 0.001-30 μM ในการเสริมฤทธิ์ของ GABA ความเข้มข้น 3 μM ที่ทำให้เกิดกระแสไฟฟ้าที่ไหลเข้าเซลล์ (Inward currents)	28
24. ภาพบันทึกแสดงผลของ Pentobarbital sodium (PB) ความเข้มข้น 1-1000 μM ในการเสริมฤทธิ์ของ GABA ความเข้มข้น 3 μM ที่ทำให้เกิดกระแสไฟฟ้าที่ไหลเข้าเซลล์ (Inward currents)	29
25. ภาพบันทึกแสดงผลของบาราโคต ความเข้มข้น 3000 μM ในการยับยั้งฤทธิ์ของ GABA ความเข้มข้น 0.3-300 μM ที่ทำให้เกิดกระแสไฟฟ้าที่ไหลเข้าเซลล์ (Inward currents)	30
26. ผลของบาราโคต 1000 และ 3000 μM ที่มีต่อ GABA concentration-response curve ที่ได้จากการให้ GABA ความเข้มข้น 0.3-1000 μM ไปยังเซลล์ประสาಥรูปปิรามิด	31

27. ภาพบันทึกแสดงผล Flumazenil ความเข้มข้น 1-15 μM ไม่มีผลต่อกระแสไฟลเข้าเซลล์ (Inward currents) ที่เกิดจากการให้ GABA ความเข้มข้น 3 μM	31
28. ภาพบันทึกและกราฟแสดงผลการยับยั้งของ Flumazenil (5-15 μM) (FMZ) ต่อการเสริมฤทธิ์ของ Diazepam (1 μM) ต่อ GABA (3 μM) ที่ทำให้เกิดกระแสไฟลเข้าเซลล์	32
29. ภาพบันทึกและกราฟแสดง Flumazenil (5-15 μM , FMZ) ไม่มีผลต่อการเสริมฤทธิ์ของ Barakol (10-30 μM) ต่อ GABA (3 μM) ที่ทำให้เกิดกระแสไฟลเข้าเซลล์	33
30. บาราคอล 10 μM ไม่มีผลต่อ Glycine concentration-response curve ที่ได้จากการให้ Glycine ความเข้มข้น 3-3000 μM ไปยังเซลล์ประสาทรูปปิรามิด	34
31. ภาพบันทึกและกราฟแสดงผลของบาราคอล (1-1000 μM , Barakol) ที่มีต่อกระแสที่เกิดจากการให้ 30 μM Glycine ไปยังเซลล์ประสาทรูปปิรามิด	35
32. ภาพบันทึกแสดงผลของ บาราคอล 300 μM ในการยับยั้งฤทธิ์ของ Glycine ความเข้มข้น 3-3000 μM ที่ทำให้เกิดกระแสไฟลเข้าเซลล์ (Inward currents)	36
33. ผลของบาราคอล 100 และ 300 μM ที่มีต่อ Glycine concentration-response curve ที่ได้จากการให้ Glycine ความเข้มข้น 3-3000 μM ไปยังเซลล์ประสาทรูปปิรามิด	37



รายการสัญลักษณ์

ANOVA	=	analysis of variance
ATP	=	adenosine triphosphate
cAMP	=	cyclic adenosine monophosphate
DMSO	=	dimethylsulfoxide
DZP	=	diazepam
FMZ	=	flumazenil
GABA	=	gamma-aminobutyric acid
HCl	=	hydrochloric acid
μM	=	micromolar
PB	=	pentobarbital sodium
PTX	=	picrotoxinin
PTZ	=	pentylenetetrazol
S.E.M.	=	standard error of the mean
TBPS	=	<i>t</i> -butylbicyclophosphorothionate
TM	=	transmembrane



สถาบันวิทยบริการ
จุฬาลงกรณ์มหาวิทยาลัย

บทนำ

ต้นบีเหล็ก (*Cassia siamea*) เป็นพืชสมุนไพรที่ได้รับการบันทึกในตำรายาแผนไทยมาเป็นเวลานานแล้วว่า มีฤทธิ์คลายกังวล ทำให้หง่วงนอน ช่วยให้นอนหลับ นอกจากนี้ยังนำมาใช้ในการประกอบอาหาร ได้แก่ แกงบีเหล็ก หรือใช้เป็นผักจิ้นน้ำพริก ซึ่งให้เห็นคุณประโยชน์ทั้งทางยาและอาหาร จนในปัจจุบันได้มีการทำเป็นผลิตภัณฑ์ออกจำหน่ายเป็นยาช่วยให้นอนหลับภายใต้ลิสต์ขององค์การเภสัชกรรม อย่างไรก็ตามกลไกการออกฤทธิ์ของพืชสมุนไพรชนิดนี้ยังไม่ทราบเป็นที่แน่ชัด การสกัดสารจากใบอ่อนและดอกของต้นบีเหล็กพบว่ามีสารบาราคอล (Barakol) เป็นสารหลัก ซึ่งก็มีความเป็นไปได้ที่สารนี้จะเป็นสารออกฤทธิ์ของบีเหล็ก จากการศึกษาเก็บพนวณาสารนี้มีฤทธิ์คลายกังวลช่วยทำให้นอนหลับ เช่นเดียวกับบีเหล็ก จึงได้เริ่มนิยมการศึกษาถึงกลไกการออกฤทธิ์ของสารบาราคอล แต่ก็ยังไม่เป็นที่กระจ่างชัด ดังนั้นจึงมีความจำเป็นที่จะต้องทำการศึกษาถึงกลไกการออกฤทธิ์ของสารนี้ เพื่อใช้เป็นข้อมูลในการพัฒนาสารตัวนี้มาใช้เป็นยาที่จะใช้ในการคลายกังวล ทำให้สงบ และช่วยการนอนหลับตลอดจนถ้าสารนี้มีความเฉพาะเจาะจงต่อตัวรับชนิดใดชนิดหนึ่งสูง ก็อาจพัฒนาสารนี้มาใช้เป็นสารเครื่องมือทางเภสัชวิทยา (Pharmacological tool) ได้ต่อไป

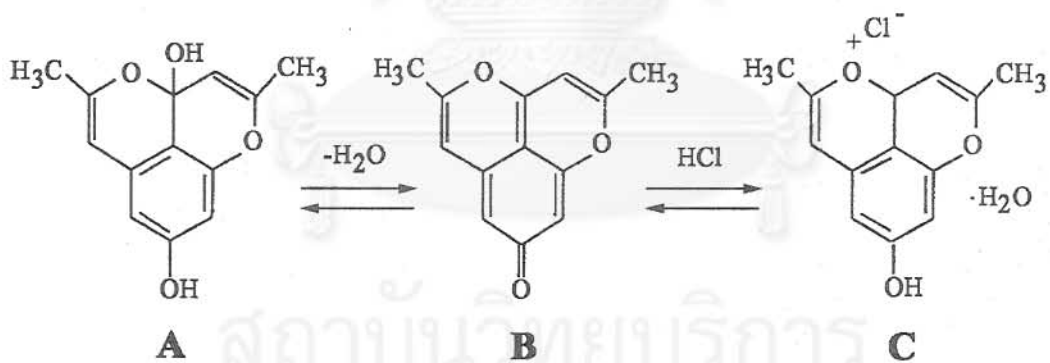
โดยที่สารที่ออกฤทธิ์ทำให้สงบและช่วยให้นอนหลับบางกลุ่ม จะมีผลต่อตัวรับชนิดช่องไออ่อนที่กระตุ้นให้เปิดด้วยลิแกนด์ (Ligand-gated ion channels ได้แก่ ตัวรับนิโคตินิกแอซetyl Kolอิน (nicotinic acetylcholine receptor), ตัวรับกาบາเอ (GABA_A receptor), ตัวรับไกลเชิน (glycine receptor), ตัวรับกลูตามาติกชนิดช่องไออ่อน (ionotropic glutamate receptor), และตัวรับ ไฟฟ์-เซอร์ทิฟี (5-HT, receptor) เป็นต้น โดยเฉพาะที่ตัวรับชนิดกาบາเอ ซึ่งมีผลขบถจากการทำงานของสมอง ดังนั้นผู้วิจัยจึงมีความสนใจที่จะศึกษาผลของสารบาราคอลที่มีต่อตัวรับชนิดช่องไออ่อนที่กระตุ้นให้เปิดด้วยลิแกนด์ของเซลล์ประสาท ที่มีต่อตัวรับชนิดกาบາเอและไกลเชิน โดยใช้เทคนิคแพทช์แคลมป์ (Patch clamp) (Hamil *et al.*, 1981) ซึ่งจะช่วยให้สามารถศึกษาฤทธิ์ที่มีต่อตัวรับหั้งสอง ของสารตัวนี้ได้ โครงการวิจัยนี้จึงมีวัตถุประสงค์เพื่อ

- 1) เพื่อพัฒนาวิธีการแยกเซลล์ประสาทเดี่ยวจากสมองหนูขาว โดยยังคงมีชีวิตและมีคุณสมบัติที่จะสามารถนำมาใช้ในการศึกษาทางสรีรวิทยาไฟฟ้าได้เป็นอย่างดี
- 2) เพื่อศึกษาฤทธิ์ของบาราคอลต่อตัวรับของสารสื่อประสาทในสมอง ชนิดช่องไออ่อนที่กระตุ้นให้เปิดด้วยลิแกนด์ 2 ชนิด คือ ตัวรับชนิดกาบາเอและไกลเชิน โดยใช้เทคนิค แพทช์แคลมป์

การสำรวจแนวความคิดและการวิจัยที่เกี่ยวข้อง

บาราคอล

สารสกัดจากใบบีบเหล็กได้รับการศึกษาถึงทางเภสัชวิทยาเป็นครั้งแรกโดย อุไร อรุณลักษณ์ (1949) ซึ่งพบว่าสารสกัดนี้ออกฤทธิ์ต่อระบบประสาทส่วนกลาง ช่วยระงับประสาท และมีความเป็นพิษต่ำ ต่อมา Hassanali และคณะ (1969) ได้สกัด พิสูจน์เอกลักษณ์และตั้งชื่อสารสกัดหลักจากใบบีบเหล็กว่า Barakol (3a,4-dihydro-3a,8-dihydroxy-2,5-dimethyl-1,4-dioxaphenalenone) ภายหลังจึงพบว่าบาราคอลอาจเป็นสารที่เกิดจากปฏิกิริยาระหว่างสาร 5-acetyl-7-hydroxy-2-methylchromone ในใบบีบเหล็กกับกรดในขั้นตอนการสกัด (Wagner *et al.*, 1978) บาราคอลจะไม่คงตัวเมื่อสูญเสียโมเลกุลของน้ำจากโครงสร้างจะเปลี่ยนเป็นแอนไฮโดรบาราคอล (anhydrobarakol) และสามารถทำปฏิกิริยากับกรดไฮโดรคลอริกได้เป็นเกลือบาราคอลไฮโดรคลอริด (barakol hydrochloride) (Kaokeaw, 1992) (รูปที่ 1) ซึ่งมีความคงตัวสูงกว่า



รูปที่ 1 โครงสร้างทางเคมีของ A. สารบาราคอล (Barakol) ซึ่งเมื่อสูญเสียโมเลกุลของน้ำจากโครงสร้างจะเปลี่ยนเป็น B. แอนไฮโดรบาราคอล (Anhydrobarakol) และเมื่อทำปฏิกิริยากับกรดไฮโดรคลอริก จะเป็นเกลือ C. บาราคอลไฮโดรคลอริด (Barakol hydrochloride)

สารบาราคอลนี้เมื่อให้ทางช่องห้องพบร่วมกับในขนาดต่ำจะมีฤทธิ์ลดการเคลื่อนไหวของหนูถูกจัด แต่ในขนาดสูงมีฤทธิ์เพิ่มการเคลื่อนไหว ไวต่อการกระตุ้น จนถึงชักและตาย ในขนาดค่อนข้างสูงจะระงับอาการเจ็บปวด (พิกุล จันทร์โยธา, 1988; Tongroach *et al.*, 1992) จากการศึกษาโดยเทคนิคoin

วิโตรอโトイเดคิโกราฟี พบว่า 7,9-[¹²⁵I]-anhydrobarakol HCl มีตำแหน่งจับเกือบทั้งสมองของหนูขาว (Bhengsri, 1996) บำรากคลังพบว่ามีฤทธิ์ลดอัตราการเต้นของหัวใจและความดันเลือดของหนูขาวและแนว (Suwan *et al.*, 1992; Chen *et al.*, 1999) และฤทธิ์ของสารอโคนิทิน (aconitine) ที่ทำให้เกิดหัวใจเต้นไม่เป็นจังหวะ (Chen *et al.*, 1999) สำหรับฤทธิ์คลายกังวลของสารบำรากคลังมีข้อโต้แย้งกันอยู่ โดย Thongsaard และคณะ (1996) พบว่าบำรากคลอมีฤทธิ์คลายกังวลที่ขนาดยา 10 มก./กก. ฉีดเข้าช่องห้องขนาดที่สูงจะไม่มีฤทธิ์ แต่ Fiorino และคณะ (1998) พบว่าบำรากคลอมีฤทธิ์ดังกล่าวทั้งนี้อาจเนื่องมาจากผลของบำรากคลอต่อพฤติกรรมค่อนข้างซับซ้อนจึงอาจก่อให้เกิดผลการทดลองผิดพลาดได้ซึ่งต้องหารูปแบบการทดลองที่เหมาะสมที่จะศึกษาต่อไป (Fiorino *et al.*, 1998) นอกจากนี้บำรากคลังมีฤทธิ์ลดการหลั่งของสารโคลามีนในสมองของหนูขาว (Thongsaard *et al.*, 1996; Thongsaard *et al.*, 1997) ซึ่ง Thongsaard และคณะ (1997) ได้เสนอว่าอาจเกิดจากการออกฤทธิ์ผ่านตัวรับของโคลามีนชนิด2 (D_2) และ/หรือค3 (D_3) อย่างไรก็ตามการศึกษานี้ไม่ได้เป็นการศึกษาผลของบำรากคลโคลตรงต่อตัวรับของโคลามีน จึงมีความเป็นไปได้ที่บำรากคลจะออกฤทธิ์ที่ตัวรับอื่นแล้วส่งผลกระทบหลั่งสารโคลามีน ซึ่งจะต้องทำการศึกษาเพื่อพิสูจน์ต่อไป

กรดแแกมนามิโนบิวไทริกหรือ gamma (γ-aminobutyric acid, GABA)

กรดแแกมนามิโนบิวไทริก (γ -aminobutyric acid) หรือ กานา (GABA) เป็นสารสื่อประสาทชนิดบั้งยังหลัก ในระบบประสาทของสัตว์เลี้ยงลูกด้วยนม โดยที่จุดประสานประสาท (synapse) ภายในระบบประสาทส่วนกลาง ที่ใช้กานาเป็นสารสื่อประสาทจะมีประมาณ 20-50% ขึ้นกับบริเวณของสมอง (Sieghart, 1995) ในการออกฤทธิ์ของกานานี้จะผ่านทางตัวรับ 2 ชนิด คือ ตัวรับกานาเอ ($GABA_A$ receptor) ซึ่งเป็นตัวรับชนิดช่องไอออน (ionotropic receptor) และตัวรับกานานี ($GABA_B$ receptor) ซึ่งเป็นตัวรับชนิดเเเม่ແທນอโตรพิก (metabotropic receptor) (Sieghart, 1995; Barnard *et al.*, 1998) การกระตุ้นตัวรับกานาเอ จะเกิดการตอบสนองอย่างรวดเร็วทำให้ช่องไอออน (ion channel) ที่เฉพาะเจาะจงกับคลอไรด์ไอออนเปิดออก ซึ่งโดยทั่วไปจะทำให้คลอไรด์ไอออนแรร์เข้าสู่เซลล์อย่างรวดเร็ว ส่งผลให้ศักยไฟฟ้าของเยื่อหุ้มเซลล์เกิดภาวะการเกิดขั้วเกิน (hyperpolarization) เป็นการบั้งยังการทำงานเซลล์ประสาท (Sieghart, 1995) สำหรับการกระตุ้นตัวรับกานานี จะมีการตอบสนองที่ช้ากว่า และยาวนานกว่า โดยจะส่งสัญญาณต่อไปยัง จี-โปรตีน (G-protein) ซึ่งจะไปมีผลต่อช่องโภแทสเซียม (potassium channel) ทำให้มีการเพิ่มขึ้นของความนำของเยื่อหุ้มเซลล์ (membrane conductance) ต่อโภแทสเซียมไอออน ทำให้เกิดภาวะการมีขั้วเกินของเยื่อหุ้มเซลล์เป็นการลดการทำงานของเซลล์ประสาท และยังมีผลต่อช่องแคลเซียม (calcium channel) ที่เยื่อหุ้มเซลล์ก่อนจุดประสานประสาท (presynaptic

membrane) ทำให้มีการลดลงของความนำของเยื่อหุ้มเซลล์ต่อแคลเซียม ไอออน ช่วยลดการหลั่งสารสื่อประสาทชนิดกระตุ้น นอกจากรูปแบบของกูลทีด้วยการกระตุ้นหรือบันยัง (บันกับชนิดของจี-โปรตีนที่จับอยู่กับตัวรับกระบวนการนี้) เอ็นไซม์อ็อกไซเดต์ในแลทไซคเลส (Adenylate cyclase) ในการสร้างไซคเลกอ็อกไซด์ในซีโนโนฟอสเฟท (Cyclic adenosine monophosphate, cAMP) ซึ่งเป็นหนึ่งในระบบนำรหัสทุกดิยามิ (secondary messenger system) (รายละเอียดตัวรับกระบวนการนี้ ดูที่ Bowery, 2000)

ตัวรับกานาเอ (GABA_A receptor)

ตัวรับกานาเอ (GABA_A receptor) จัดเป็นหนึ่งในกลุ่มใหญ่ของช่องไอออนที่กระตุ้นให้เปิดด้วยลิแกนด์ (Ligand-gated ion channel superfamily) อันได้แก่ ตัวรับนิโโคตินิกแอชีติลโคลีน (nicotinic acetylcholine receptor), ตัวรับกานาเอ (GABA_A receptor), ตัวรับไกลีเซน (glycine receptor), ตัวรับกลูตามاتชนิดช่องไอออน (ionotropic glutamate receptor), ตัวรับไฟฟ์-อะซทีทรี (5-HT₃ receptor) และตัวรับพีทูเอกซ์ (P2X receptor) สำหรับโครงสร้างของตัวรับกานาเอประกอบขึ้นด้วยหน่วยย่อย (subunit) 5 หน่วย มวลตัวกันเป็นตัวรับชนิดนี้ (Nayeem *et al.*, 1994) ซึ่งหน่วยย่อยเหล่านี้สามารถจัดแบ่งเป็นหมู่ (class) ได้หลายหมู่ จนถึงปัจจุบัน ได้แก่ หน่วยย่อยแอลฟ่า (α subunit) ประกอบด้วยหน่วยย่อยแอลฟ่า 1-6 (α 1- α 6 subunits), หน่วยย่อยบีตา (β subunit) ประกอบด้วยหน่วยย่อยบีตา 1-4 (β 1- β 4 subunits), หน่วยย่อยแกรมมา (γ subunit) ประกอบด้วยหน่วยย่อยแกรมมา 1-3 (γ 1- γ 3 subunits), หน่วยย่อยเดลตา (δ subunit), หน่วยย่อยເອັພືລົນ (ε subunit), หน่วยย่อยໄພ (π subunit), หน่วยย่อยໂຣໜ້ (ρ subunit) ประกอบด้วยหน่วยย่อยໂຣໜ້ 1-3 (ρ 1- ρ 3 subunits) (Barnard *et al.*, 1998; Sieghart *et al.*, 1999) และหน่วยย่อยເຮຕາ (θ subunit) (Whitting, 1999)

หน่วยย่อยของตัวรับกานาเอซึ่งเป็นสายพอลิເປີໄທດ (polypeptide) จะมีลำดับของกรดอะมิโนเหมือนกับตัวรับอื่นในกลุ่มใหญ่ของช่องไอออนที่กระตุ้นให้เปิดด้วยลิแกนด์ (Whiting *et al.*, 1995) แต่สายพอลิເປີໄທດ จะประกอบขึ้นด้วยส่วนที่สำคัญ (Macdonald and Olsen, 1994; Whiting *et al.*, 1995) ได้แก่

- ส่วนไม่ชอบน้ำและผ่านเข้ามายื่อหุ้มเซลล์ (Transmembrane hydrophobic segment) จำนวน 4 ตอน (ตอนผ่านเข้ามายื่อหุ้มเซลล์ที่ 1-4, TM1-4) โดยเชื่อว่าตอนผ่านเข้ามายื่อหุ้มเซลล์ที่ 2 (TM2) ของทั้ง 5 หน่วยย่อยที่มาร่วมกันเป็นตัวรับ อาจเกี่ยวข้องกับโครงสร้างที่เป็นท่อของตัวรับชนิดนี้
- โดเมน (domain) ภายนอกเซลล์ซึ่งเป็นส่วนชอบน้ำขนาดใหญ่ที่ปลายด้านในໂຕเรجن (N-terminal) ของสายพอลิເປີໄທດ จะมีหลายบริเวณที่เป็นบริเวณไกලໂຄສິເລະນ (glycosylation site) และบริเวณหมวดเป็นวง (loop) ที่เกิดจากกรดอะมิโนซິສິດິນ 2 โนມເກຸລ

บนสายพอลิเพปไทด์ มาทำปฏิกิริยาจับกันอยู่ ซึ่งเชื่อว่าเป็นบริเวณที่สารงานาและลิแกนด์ บางชนิดมาจับกับตัวรับนี้

- โดเมนขนาดใหญ่ลักษณะเป็นวง (loop) ภายในเซลล์ ระหว่างตอนผ่านข้ามเยื่อหุ้มเซลล์ที่ 3 กับ ที่ 4 (TM3 and TM4) เป็นส่วนที่มีบริเวณที่จะเกิดปฏิกิริยาฟอสฟอไรเลชัน (phosphorylation) โดยเอนไซม์ไคเนส (kinase) หลายชนิด ซึ่งจะควบคุมการทำงานของตัวรับชนิดนี้

เนื่องจากในการสร้างตัวรับงานาเอ 1 ตัวรับ ต้องอาศัยหน่วยย่อย (subunit) มากกว่า 5 หน่วย ในขณะที่มีการพบหน่วยย่อยแล้วอย่างน้อย 20 ชนิด ถ้าหน่วยย่อยเหล่านี้สามารถรวมกันเป็นตัวรับงานาเอได้แบบสุ่ม จะมีโอกาสที่จะได้โครงสร้างของตัวรับงานาเอที่แตกต่างกันเป็นจำนวนมาก (Sieghart *et al.*, 1999) อย่างไรก็ตามในความเป็นจริงแล้วจะมีจำนวนไม่เกิน 800 ชนิด (Barnard *et al.*, 1998) โดยทั่วไปตัวรับงานาเอธรรมชาติ (native GABA_A receptor) จะมีโครงสร้างปริมาณสัมพันธ์ (Stoichiometry) ของหน่วยย่อย เป็น $2\alpha_2\beta_1\gamma$ หรือ $2\alpha_1\beta_2\gamma$ โดยที่หน่วยย่อยแคมมา (γ subunit) อาจหลุดออกได้ด้วย หน่วยย่อยเดลตา (δ subunit) หรืออฟซิลอน (ϵ subunit) (Barnard *et al.*, 1998) ในสมองมนุษย์พบมีตัวรับงานาเอชนิด $\alpha_1\beta_2\gamma_2$ มากที่สุด (43%) รองลงมาเป็น ชนิด $\alpha_2\beta_{2,3}\gamma_2$ (18%) และ $\alpha_3\beta_2\gamma_2$ (17%) และชนิดอื่นๆ อีกไม่นานนัก (MacKernan and Whitting, 1996) จากการที่ตัวรับงานาเอมีส่วนประกอบในโครงสร้างที่แตกต่างกัน ทำให้ตัวรับงานาเอมีคุณสมบัติทางสรีรวิทยาไฟฟ้า และเภสัชวิทยาที่แตกต่างกัน (Sieghart, 1995; Barnard *et al.*, 1998; Sieghart *et al.*, 1999)

การจับของกรดอมิโนในงานากับตัวรับงานาเอจะทำให้เกิดการเปิดของช่องในตัวรับนี้ ซึ่งเฉพาะเจาะจงกับคลอโรคีโอลอน ทำให้มีการเพิ่มขึ้นของความนำของเยื่อหุ้มเซลล์ (membrane conductance) ต่อคลอโรคีโอลอน โดยทั่วไปจะทำให้เกิดการขับย้งการทำงานของเซลล์ประสาท (Study and Barker, 1981; Sieghart, 1995) ในการกระตุ้นตัวรับงานาเอต้องอาศัยกรดอมิโนในงานาอย่างน้อย 2 ตัวจึงจะเพียงพอที่จะกระตุ้นตัวรับชนิดนี้ได้ (Sakmann *et al.*, 1983) นอกจากกรดอมิโนในงานาแล้วยังมีตัวทำการ (agonist) อีกหลายชนิดที่กระตุ้นตัวรับนี้ ได้แก่ muscimol, isoguvacine, piperidine-4-sulphonic acid และ 4,5,6,7-tetrahydroisoxazolol [5,4-c]pyridin-3-ol (THIP) เป็นต้น สาร bicuculline จะเป็นตัวด้านชนิดแข่งขัน (competitive antagonist) ในขณะที่ picrotoxinin, pentylenetetrazol (PTZ) and *t*-butylbicyclophosphorothionate (TBPS) เป็นสารด้านชนิดไม่แข่งขัน (non-competitive antagonist) นอกจากนี้ยาหรือสารที่มีความสำคัญทางเภสัชวิทยาหลายชนิดยังสามารถปรับแต่ง (modulate) การกระตุ้นของกรดอมิโนในงานาต่อตัวรับงานาเอ ซึ่งได้แก่ benzodiazepines, barbiturates, neuroactive steroids, ethanol, propofol, etomidate, loreclezole, anesthetics และ Zn²⁺ เป็นต้น สารเหล่านี้ออกฤทธิ์

โดยการจับกับบริเวณขีดเหนี่ยวของอลโลสเตอริก (allosteric binding site) ที่แตกต่างกันบนตัวรับกาบนาเอ (Macdonald and Olsen, 1994; Sieghart, 1995; Upton and Blackburn, 1998)

ไกลซีน (Glycine)

กรดอมิโนไกลซีน ถูกจัดเป็นสารสื่อประสาทชนิดยังยั้งในระบบประสาทของสัตว์เลี้ยงลูกด้วยนมที่สำคัญอีกชนิดหนึ่ง โดยเฉพาะที่ไขสันหลัง (spinal cord) และก้านสมอง (brain stem) (Betz, 1991) โดยมีส่วนเกี่ยวข้องกับการตอบสนองแบบรีเฟล็กซ์ การควบคุมการเคลื่อนไหวภายในบังคับของจิตใจ และการรับความรู้สึกของสมองส่วนกลาง (Rajendra *et al.*, 1997) นอกจากนี้ยังพบว่ากรดอมิโนไกลซีนยังมีบทบาทเป็น ตัวทำารร่วม (coagonist) กับกรดอมิโนกลูตามेट ที่ตัวรับเอนโซเมติโอด (NMDA receptor) ซึ่งเป็นตัวรับย่อชนิดหนึ่งของตัวรับกลูตามेटชนิดช่องไอออน (ionotropic glutamate receptor) ในการกระตุ้นการทำงานของเซลล์ประสาท (รายละเอียด ดู Danysz and Parsons, 1998)

ตัวรับไกลซีน (Glycine receptor)

ตัวรับไกลซีน (glycine receptor หรือ strychnine-sensitive glycine receptor) เช่นเดียวกับตัวรับกาบนาเอ จัดอยู่ในกลุ่มไข寓ของช่องไอออนที่กระตุ้นให้เปิดด้วยลิแกนด์ (Ligand-gated ion channel superfamily) ประกอบขึ้นด้วยหน่วยย่อย (subunit) 5 หน่วย นารวมกันเป็นตัวรับชนิดนี้ (Betz, 1991; Kuhse *et al.*, 1995; Rajendra *et al.*, 1997) หน่วยย่อยของตัวรับไกลซีนจะถูกจัดเป็น 2 กลุ่ม คือ หน่วยย่อยแอ็พฟ่า (α subunit) ประกอบด้วยหน่วยย่อยแอ็พฟ่า 1-4 ($\alpha 1-\alpha 6$ subunits) และ หน่วยย่อยบีตา (β subunit) (Rajendra *et al.*, 1997; Maksay *et al.*, 2001)

ตัวรับนี้ส่วนใหญ่พบรอยู่ที่ก้านสมองและไขสันหลัง (Young and Snyder, 1973; Triller *et al.*, 1985) นอกจากนี้ยังสามารถพบตัวรับชนิดนี้ได้ทั่วไปที่สมองส่วนที่เหนือขึ้นไปได้ (Malosio *et al.*, 1991) แต่ก็ไม่มากเท่าที่ก้านสมองและไขสันหลัง การกระตุ้นที่ตัวรับนี้จะทำให้เกิดการเปิดของช่องในตัวรับซึ่งเฉพาะเจาะจงกับคลอไรด์ไอออน ทำให้มีการเพิ่มน้ำของเยื่อหุ้มเซลล์ต่อกลุ่มคลอไรด์ไอออน ทำให้เกิดการยับยั้งการทำงานของเซลล์ประสาท เช่นเดียวกับตัวรับกาบนาเอ (Betz, 1991; Kuhse *et al.*, 1995; Rajendra *et al.*, 1997)

วิธีการวิจัย

1. สกัดแยกสารบาราคอล จากใบอ่อน ยอดอ่อนและดอกของต้นขี้เหล็ก

ทำการสกัดแยกสารบาราคอลจากใบอ่อน ยอดอ่อนและดอกของต้นขี้เหล็ก แล้วนำไปทำให้เกิดเป็นเกลือกับกรดไฮโดรคลอริก (Hydrochloric acid) ได้เป็นสารแอนไฮโดรบาราคอลไฮโดรคลอไรด์ (Anhydrobarakol HCl) โดยใช้วิธีของ รศ.ชัยโย ชัยชาญพิพุทธ (Chaichantipyuth, 1979)

2. การแยกเซลล์ประสาทเดี่ยวจากสมองของหนูขาว ให้มีชีวิตและมีคุณสมบัติเหมาะสมที่จะนำมาใช้ในการศึกษาทางสรีรวิทยาไฟฟ้า

โดยพัฒนาวิธีการมาจากการ Sooksawate & Simmonds (1998) กล่าวโดยย่อได้ดังนี้ ใช้หนูขาว (rat) พันธุ์ Wistar เพศผู้ อายุ 21-27 วัน ทำการสำนักสัตว์ทดลองแห่งชาติ ทำหูน้ำให้หมดความรู้สึก โดยวิธี cervical dislocation and decapitation จากนั้นผ่าตัดแยกสมองออกมานำมาสูบให้เป็นแผ่นบางๆ หนา 400 ไมโครเมตร ด้วยเครื่อง Vibroslice (752M, Campden Instruments, England) ทำการยืดด้วยเย็นไซม์กูลั่ม Protease (Pronase และ Thermolysin; Sigma, USA) ด้วยการแช่แผ่นสมองกับเย็นไซม์ในสารละลายเกลือสรีรวิทยา (Physiological salt solution) (ประกอบด้วย NaCl 140 mM, KCl 4.7 mM, MgCl₂ 1.2 mM, CaCl₂ 2.5 mM, Glucose 11 mM และ HEPES 10 mM โดยปรับค่า pH เท่ากับ 7.4 ด้วย Tris-base) ที่ 31°C แช่สมองกับเย็นไซม์แต่ละตัวนาน 20 นาที แล้วแยกสมองส่วน hippocampus ออกมานำมาจากนั้นแยกเซลล์ประสาทเดี่ยวจากแผ่นสมอง hippocampus ด้วยการคุดแผ่นสมองขึ้นลง (Trituration) ผ่านปากเป็ดต์แก้ว (glass pipette) ขนาดเล็กที่ปลายลงบนกระดานที่ไม่ต้องการ ด้วยวิธีตั้งให้ตกตะกอน (gravity sedimentation) นาน 10 นาที แล้วจึงนำไปใส่ลงในช่องบันทึก (recording chamber) บนแท่นของกล้องจุลทรรศน์แบบกลับหัว (Inverted microscope; IMT2, Olympus, Japan) ทึ้งไว้ประมาณ 30-40 นาที เพื่อให้เซลล์ประสาทคงไปที่ฐานของช่องบันทึก แล้วจึงปล่อยให้สารละลายเกลือสรีรวิทยาไหลผ่านช่องบันทึกด้วยอัตราประมาณ 2.5-3.0 มิลลิลิตร/นาที

3. ศึกษาผลของสารบาราคอลต่อตัวรับของเซลล์ประสาทที่แยกออกมาได้ ชนิด Ligand-gated ion channels ได้แก่ GABA_A receptor และ glycine receptor โดยใช้เทคนิค Patch clamp

ได้พัฒนามาจากวิธีการของ Hamil และคณะ (1981) และ Sooksawate and Simmonds (1998) ซึ่งมีวิธีการดังนี้ คือ แพทช์ปีเป็ตต์ (patch pipette) จะเตรียมมาจากหลอดแก้วรูเด็กบอร์ชิริกเทคนิดพนังบาง (thin wall borosilicate glass capillary; Clark Electromedical Instruments, England) โดยใช้เครื่องดึงปีเป็ตต์ชนิดแนวตั้งแบบ 2 ขั้น (two-step vertical pipette puller; PP-83, Narishige, Japan) แพทช์ปีเป็ตต์ (patch pipette) ที่ได้จะบรรจุสารละลายในปีเป็ตต์ (intrapipette solution) ซึ่งประกอบด้วย CsCl 140 mM, MgCl_2 4 mM, Na_2ATP 4 mM, EGTA 11 mM, CaCl_2 1 mM และ HEPES 10 mM โดยปรับค่า pH เท่ากับ 7.2 ด้วย Tris-base ความด้านทานไฟฟ้าระหว่างแพทช์ปีเป็ตต์ (patch pipette) กับขั้วเปรียบเทียบ (reference electrode) ในสารละลายภายนอก (External solution) ในช่องบันทึกเท่ากับ 3-5 เมก้าโอม ($M\Omega$) เอื้อหุ่นเซลล์ประสาทจะถูกโวลเทกแคลมน้ำ (voltage-clamp) ไว้ที่ -20 มิลลิโวลท์ (mV) กระแสไฟฟ้าที่ผ่านเอื้อหุ่นเซลล์แบบทั้งเซลล์ (whole-cell recording) จะถูกวัดและขยายสัญญาณโดยเครื่องขยายสัญญาณแพทช์แคลมน้ำ (patch clamp amplifier) (Axopatch 200B, Axon Instruments, USA) ทำการสังเกตสัญญาณบนจอแสดงผลซิลิโอลสโคป (Gould, England) และเปลี่ยนสัญญาณจากอนาลอก (analog) ไปเป็นดิจิทอล (digital) ด้วยเครื่องแปลงสัญญาณอนาลอก-เป็น-ดิจิทอล (analog-to-digital converter) (MacLab/4, ADInstruments, Australia) แล้วทำการบันทึกสัญญาณที่ได้ด้วยเครื่องคอมพิวเตอร์ชนิดแมคต์ช (Macintosh LC-630, Apple computer, USA) โดยใช้โปรแกรม Chart v.3.4.2 (ADInstruments, Australia)

- ในการศึกษาผลต่อตัวรับ gamma-aminobutyric acid receptor (GABA_A receptor) และกลไกการออกฤทธิ์ของบาราคอล จะทำการบันทึกกระแสไฟฟ้าที่ผ่านเอื้อหุ่นเซลล์แบบทั้งเซลล์ (whole-cell recording) เมื่อให้บาราคอลเดียว; หรือให้บาราคอลร่วมกับ gamma-aminobutyric acid receptor antagonist or inhibitor ของตัวรับ gamma-aminobutyric acid receptor (GABA_A receptor) บางชนิด
- ในการศึกษาผลต่อตัวรับ glycine receptor จะทำการบันทึกกระแสไฟฟ้าที่ผ่านเอื้อหุ่นเซลล์แบบทั้งเซลล์ (whole-cell recording) เมื่อให้บาราคอลเดียว; หรือให้บาราคอลร่วมกับ glycine receptor; หรือให้บาราคอลร่วมกับ glycine receptor

4. สารเคมี

สารตัวทำการ สารเสริมฤทธิ์ สารด้าน จะเตรียมเป็นสารละลายเข้มข้น (stock solution) ด้วย การละลายลงในน้ำกลั่น หรือ dimethylsulfoxide (DMSO) แล้วจึงละลายเพื่อให้ได้ความเข้มข้น ที่ต้องการลงในสารละลายเกลือสรีรวิทยา (Physiological salt solution) โดยความเข้มข้นสุดท้าย ของ DMSO จะน้อยกว่าหรือเท่ากับ 0.05% ซึ่งจะไม่ส่งผลใดๆ ต่อการทำงานของตัวรับชนิดต่างๆ (ข้อมูลนี้ได้แสดง) การให้สารเหล่านี้ไปยังด้านนอกของเซลล์ประสาทจะใช้วิธี U-tube method ตามวิธีการของ Sooksawate and Simmonds (1998) ซึ่งจะทำให้ความเข้มข้นของสารที่ให้รอนๆ เซลล์ประสาทเปลี่ยนแปลงอย่างรวดเร็วจนถึงความเข้มข้นที่ต้องการ ก่อนที่จะเกิดภาวะการลดความไวต่อการกระตุ้น (Desensitization) ของตัวรับต่างๆ

สารเคมีที่ใช้ในการวิจัยทั้งหมดสั่งซื้อมาจาก Sigma (USA) ยกเว้น NaCl, KCl, CaCl₂H₂O, MgCl₂.6H₂O จาก Riedel-deHäen (Germany)

5. การวิเคราะห์ข้อมูล

ข้อมูลจะแสดงในรูปของค่าเฉลี่ย \pm ค่าผิดพลาดมาตรฐานของค่าเฉลี่ย (mean \pm standard error of the mean; mean \pm S.E.M.) การวิเคราะห์ข้อมูลความสัมพันธ์ระหว่างความเข้มข้นของสารและการตอบสนองของเซลล์ประสาท (Concentration-response analysis) จะใช้โปรแกรม GraphPad PRISM version 3.0 (GraphPad Software, USA) ด้วยสมการ

$$I = I_{\min} + (I_{\max} - I_{\min}) / (1 + (EC_{50}/[X])^H)$$

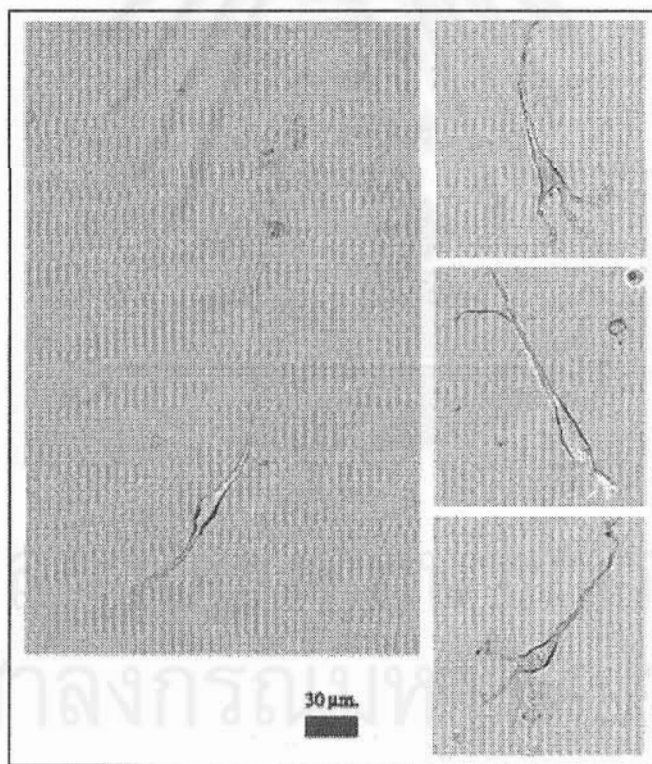
เมื่อ I คือ กระแสไฟฟ้าที่เหนี่ยวนำให้เกิดด้วยสารทำการ (agonist-induced current), I_{\min} คือ กระแสตอบสนองต่ำสุด, I_{\max} คือ กระแสตอบสนองสูงสุด, EC_{50} คือ ความเข้มข้นของสารทำการที่ทำให้เกิดกระแสตอบสนองร้อยละ 50 ของกระแสตอบสนองสูงสุด, [X] คือ ความเข้มข้นของสารทำการ, H คือ สัมประสิทธิ์ความชัน (Hill coefficient)

การวิเคราะห์ความแตกต่างของข้อมูลเพื่อเปรียบเทียบทางสัตว์ เมื่อข้อมูลมากกว่า 2 กลุ่มจะใช้สถิติ Analysis of Variance (ANOVA) หลังจากนั้นจะเปรียบเทียบแต่ละกลุ่มเป็นคู่โดยใช้ Bonferroni test ถ้าข้อมูลนี้เพียง 2 กลุ่มจะใช้สถิติ Student's t-test โดยที่ค่า P (P value) น้อยกว่า 0.05 แสดงว่าข้อมูลที่เปรียบเทียบมีความแตกต่างอย่างมีนัยสำคัญทางสถิติ

ผลการวิจัย

1. การแยกเซลล์ประสาทเดี่ยวจากสมองของหนูขาว

ผลจากการแยกเซลล์ประสาทจากสมองส่วน hippocampus (Hippocampus) ของหนูขาวด้วยวิธีของ Sooksawate & Simmonds (1998) พบว่าเซลล์ประสาทที่แยกได้ยังคงลักษณะทางกายสัณฐานวิทยา (Morphology) ไว้ได้ดีพอกว่า โดยเฉพาะเซลล์ซึ่งจะนำมาใช้ในงานวิจัย คือ เซลล์ประสาทรูปปิรามิด (Pyramidal neurones) ซึ่งเป็นเซลล์ประสาทที่สำคัญของสมองส่วนนี้ (รูปที่ 2) อย่างไรก็ตามจำนวนเซลล์ประสาทที่มีชีวิต (Viable neurones) ที่แยกได้ (โดยวิธี trypan blue exclusion) โดยใช้หนูขาวอายุ 21-27 วัน ก็ต่ำกว่า (ประมาณ 80%) การใช้สัตว์ทดลองที่มีอายุ 10-16 วัน (ประมาณ 90%) ดังในการศึกษาของ Sooksawate & Simmonds (1998)

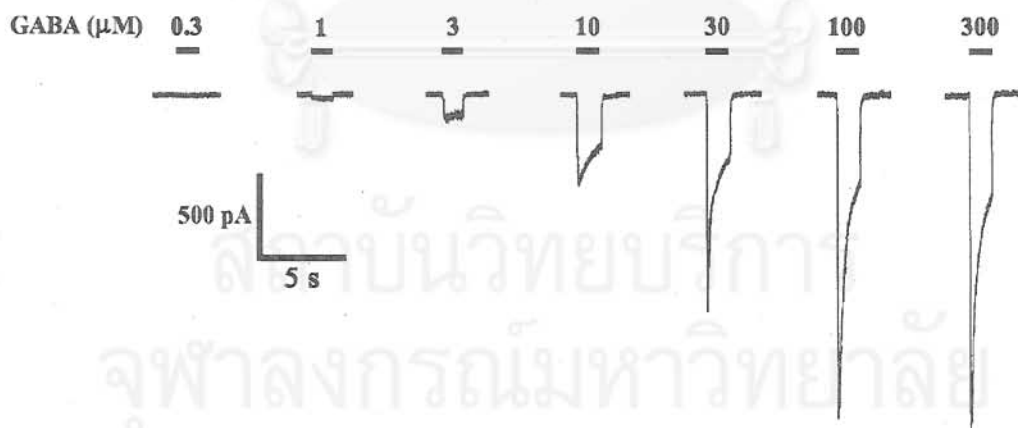


รูปที่ 2 ภาพถ่ายกายได้กล้องจุลทรรศน์ ของเซลล์ประสาทที่แยกออกมาทันที จากสมองส่วน Hippocampus ของหนูขาว เพศผู้ อายุ 23 วัน ตามวิธีการที่ เขียนไว้ในวิธีดำเนินการวิจัย แบบสเกลสีดำในภาพขาว = $30 \mu\text{m}$

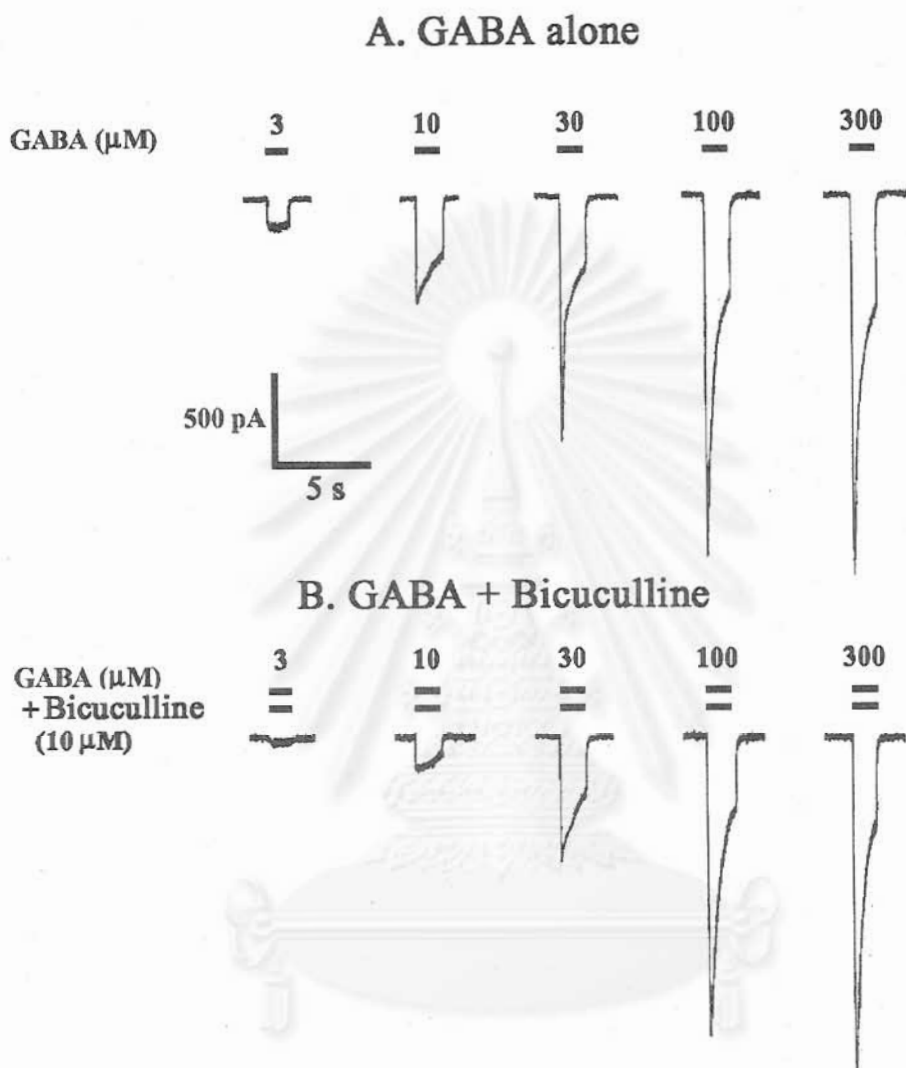
2. การศึกษาคุณสมบัติของตัวรับ gamma-aminobutyric acid (GABA_A receptor) ของเซลล์ประสาทเดี่ยวที่แยกจากสมอง ส่วนอิปโปแคมปัส (Hippocampus) ของหนูขาว

2.1 ผลของกานาและสารต้านกานาต่อตัวรับ gamma-aminobutyric acid

จากการศึกษาผลของการให้สารสื่อประสาทกานา (GABA, γ -aminobutyric acid) ซึ่งจะไปกระตุ้นตัวรับ gamma-aminobutyric acid (GABA_A receptor) บนเยื่อหุ้มเซลล์ประสาททำให้ช่องไอออนของตัวรับเปิด เกิดการไหลของคลอไรด์ไอออนผ่านช่องภายในตัวรับ โดยใช้เทคนิคแพทช์คลัมป์ (Patch clamp) เพื่อบันทึกกระแสชั่วขณะผ่านเยื่อหุ้มเซลล์แบบทั้งเซลล์ (Whole-cell recordings) พบว่าเซลล์ประสาทรูปปีรามิดที่แยกได้สามารถตอบสนองต่อการกระตุ้นโดยสารกานาได้ และมีการตอบสนองเพิ่มขึ้นตามความเข้มข้นของ กานา ที่ให้ (รูปที่ 3) โดยกระแสที่เกิดจากการให้ กานา จะถูกยับยั้งได้โดย Bicuculline methochloride ซึ่งเป็นสารต้าน กานา ชนิดแข่งขัน (Competitive antagonist) (รูปที่ 4) และ Picrotoxinin ซึ่งเป็นสารต้าน กานา ชนิดไม่แข่งขัน (Non-competitive antagonist) (รูปที่ 5) ที่ตัวรับ gamma-aminobutyric acid

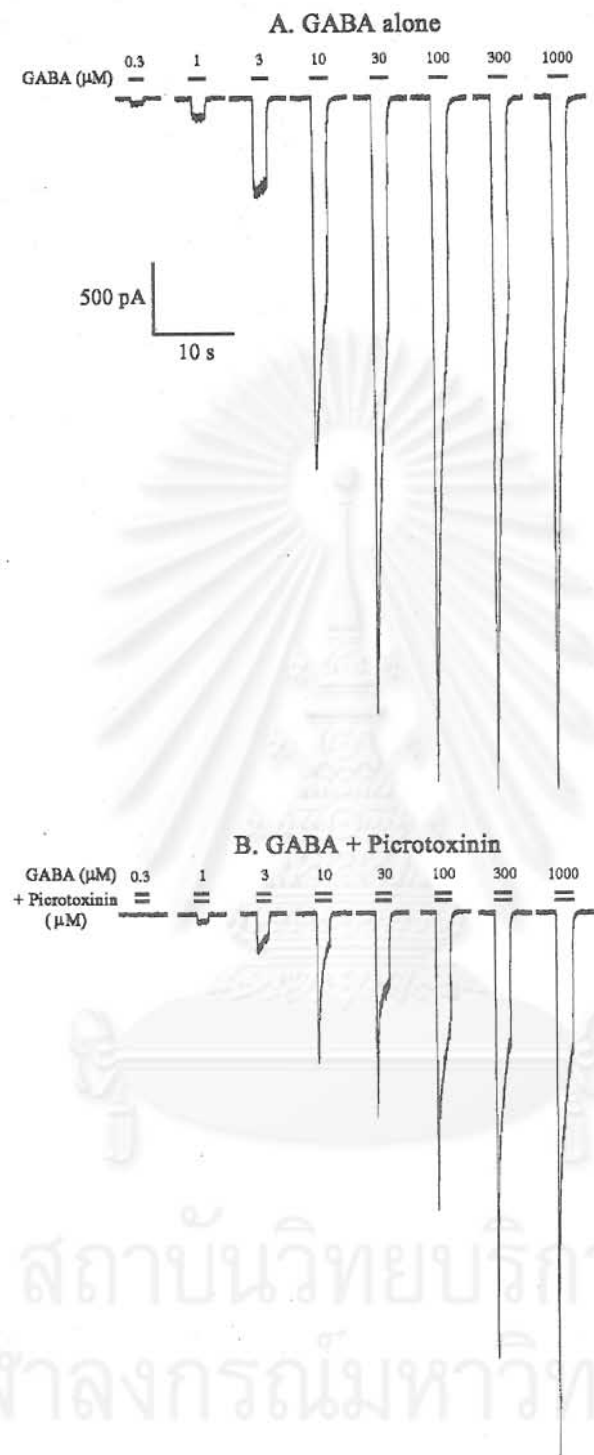


รูปที่ 3 ภาพบันทึกของกระแสไฟฟ้าที่ไหลเข้าเซลล์ (Inward currents) ในเซลล์ประสาท รูปปีรามิดที่แยกได้ทันทีจากสมองส่วน Hippocampus ของหนูขาว จากการให้ GABA ความเข้มข้น 0.3-300 μM



สถาบันวิทยบริการ และองค์ความรู้วิทยาลัย

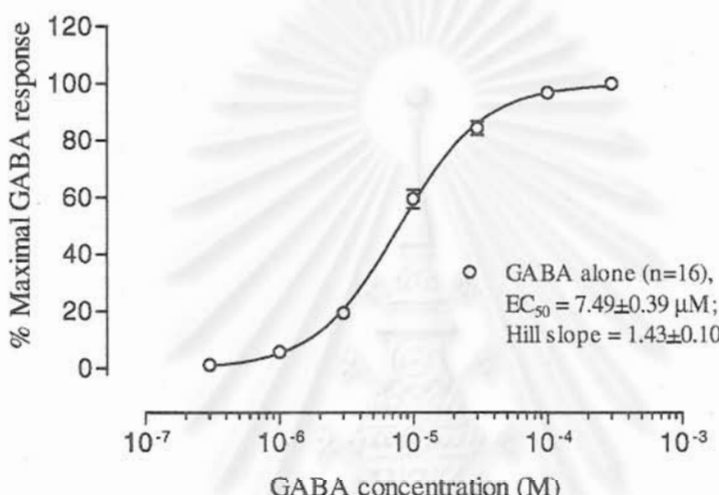
รูปที่ 4 ภาพบันทึกแสดงผลของ Bicuculline methochloride 5 μM ในการยับยั้งฤทธิ์ของ GABA ความเข้มข้น 3-300 μM ที่ทำให้เกิดกระแสไฟลเข้าเซลล์ (Inward currents) ในเซลล์ประสาทรูปปีรามิด A. ผลจากการให้ GABA เดียว , B. ผลจากการให้ GABA ร่วมไปกับ Bicuculline



สถาบันวิทยบริการ
จุฬาลงกรณ์มหาวิทยาลัย

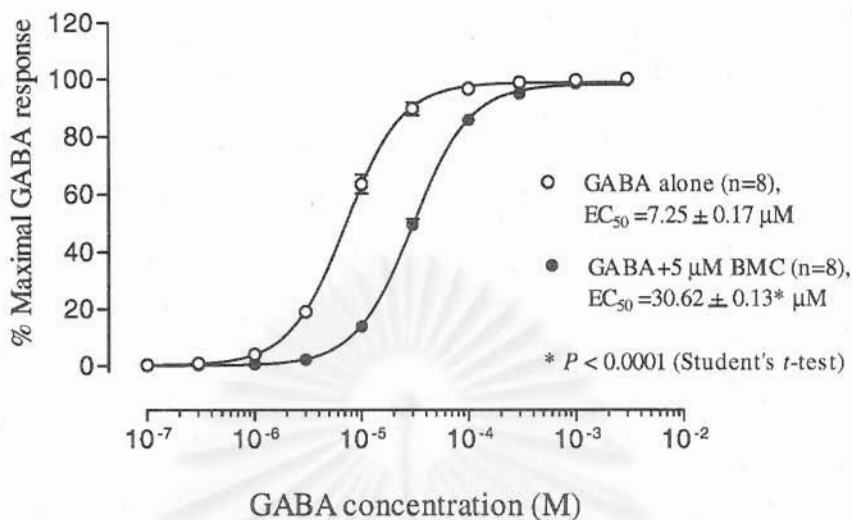
รูปที่ 5 ภาพบันทึกแสดงผลของ Picrotoxinin 10 μM ในการยับยั้งฤทธิ์ของ GABA ความเข้มข้น 1-1000 μM ที่ทำให้เกิดกระแสไฟลเข้าเซลล์ (Inward currents) ในเซลล์ประสาทรูปปิรามิด A. ผลจากการให้ GABA เดียว , B. ผลจากการให้ GABA ร่วมไปกับ Picrotoxinin

เมื่อนำผลที่ได้มาสร้างกราฟระหว่างความเข้มข้นของ gamma (GABA concentration) กับ ร้อยละของการตอบสนองของเซลล์ประสาทสูงสุด (%Maximal GABA response) พบว่า ค่า GABA EC₅₀ ที่ได้จากการตัดเส้นตรงที่ 50% ของความเข้มข้นที่ให้ GABA คือ $7.49 \pm 0.39 \mu\text{M}$ ($n=16$) (รูปที่ 6)



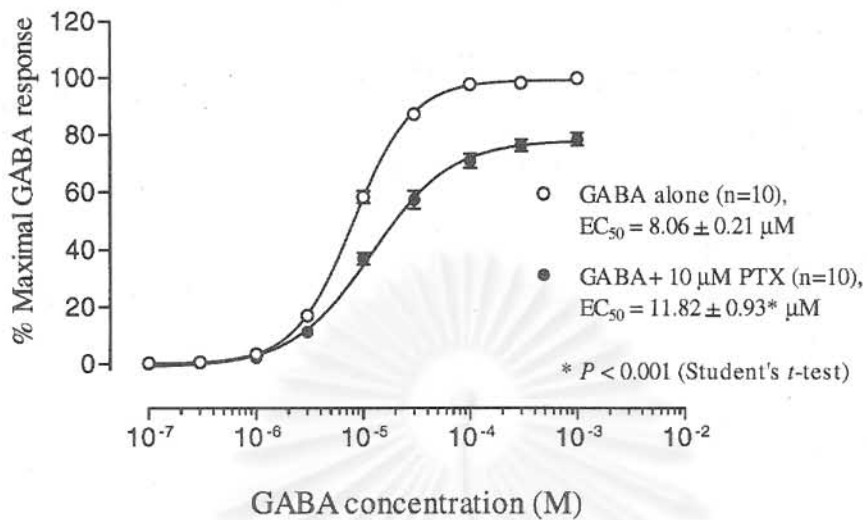
รูปที่ 6 GABA concentration-response curve ที่ได้จากการให้ GABA ความเข้มข้น 0.3-300 μM ไปยังเซลล์ประสาทรูปปีรามิด จากราฟคำนวณหาค่า GABA EC₅₀ = $7.49 \pm 0.39 \mu\text{M}$ และ Hill slope = 1.43 ± 0.10 ($n=16$)

เมื่อให้สาร bicuculline methochloride 5 μM ร่วมกับสาร gamma ความเข้มข้น 0.1-1000 μM พบว่าสาร bicuculline methochloride สามารถยับยั้งฤทธิ์ของ gamma ได้ โดยทำให้ค่า GABA EC₅₀ เพิ่มขึ้นจาก $7.25 \pm 0.17 \mu\text{M}$ เมื่อให้ gamma เดียว ไปเป็น $30.62 \pm 0.13 \mu\text{M}$ เมื่อให้ gamma ร่วมกับ bicuculline ($P<0.0001$, Student's *t*-test; $n=8$) โดยค่าการตอบสนองสูงสุดไม่เปลี่ยนแปลง (รูปที่ 7)



รูปที่ 7 GABA concentration-response curve แสดงการขับยั้งฤทธิ์ของ gamma-aminobutyric acid (GABA) โดยสาร bicuculline methochloride (BMC) ค่า GABA EC_{50} เพิ่มขึ้นจาก $7.25 \pm 0.17 \mu M$ เมื่อให้ gamma-deoxyglucose (GDP) เป็น $30.62 \pm 0.13 \mu M$ เมื่อให้ gamma-aminobutyric acid (GABA) ร่วมกับ bicuculline ($P < 0.0001$, Student's t -test; $n=8$)

เมื่อให้สาร picrotoxinin $10 \mu M$ ร่วมกับสาร gamma-aminobutyric acid (GABA) ความเข้มข้น $0.1-1000 \mu M$ พบร่วมกับสาร bicuculline methochloride สามารถขับยั้งฤทธิ์ของ gamma-aminobutyric acid (GABA) ได้ โดยทำให้ค่า EC_{50} เพิ่มขึ้นจาก $8.06 \pm 0.21 \mu M$ เมื่อให้ gamma-deoxyglucose (GDP) เป็น $11.82 \pm 0.94 \mu M$ เมื่อให้ gamma-aminobutyric acid (GABA) ร่วมกับ picrotoxinin ($P < 0.001$, Student's t -test; $n=10$) และยังทำให้ค่าการตอบสนองสูงสุดลดลงจาก $99.05 \pm 0.61\%$ เมื่อให้ gamma-deoxyglucose (GDP) เป็น $77.96 \pm 1.32\%$ เมื่อให้ gamma-aminobutyric acid (GABA) ร่วมกับ picrotoxinin ($P < 0.0001$, Student's t -test; $n=10$) (รูปที่ 8)

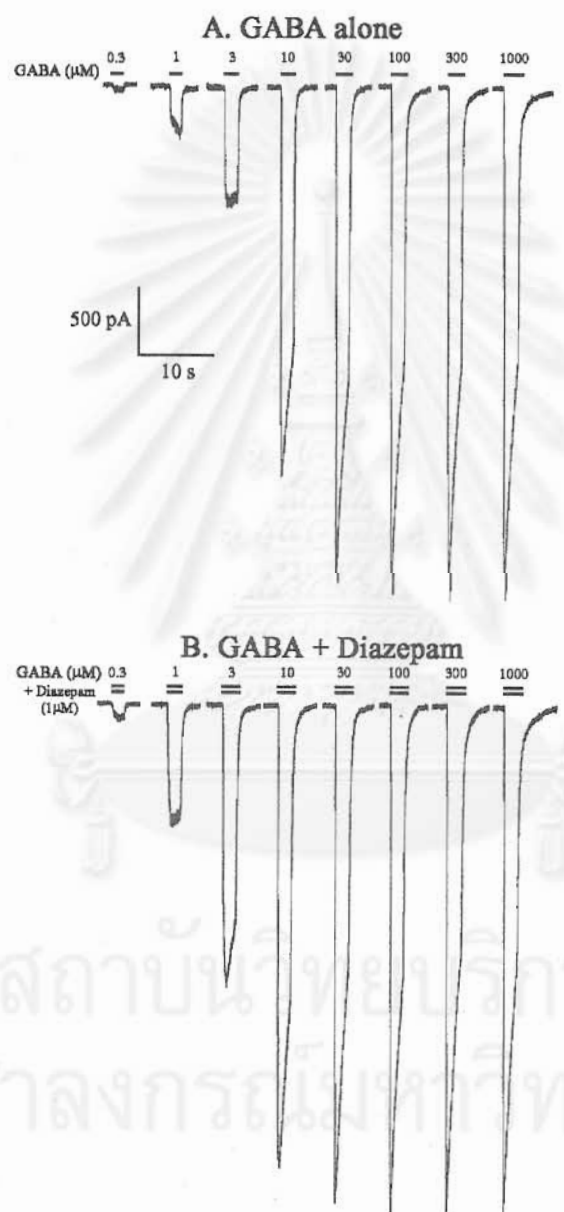


รูปที่ 8 GABA concentration-response curve แสดงการขับยั้งฤทธิ์ของ GABA ด้วยสาร picrotoxinin (PTX) ค่า GABA EC₅₀ เพิ่มขึ้นจาก 8.06 ± 0.21 μM เมื่อให้ GABA เดียว ไปเป็น 11.82 ± 0.93* μM เมื่อให้ GABA ร่วมกับ picrotoxinin ($P < 0.001$, Student's *t*-test; n=10) และมีการลดลงของการตอบสนองสูงสุด

สถาบันวิทยบริการ
จุฬาลงกรณ์มหาวิทยาลัย

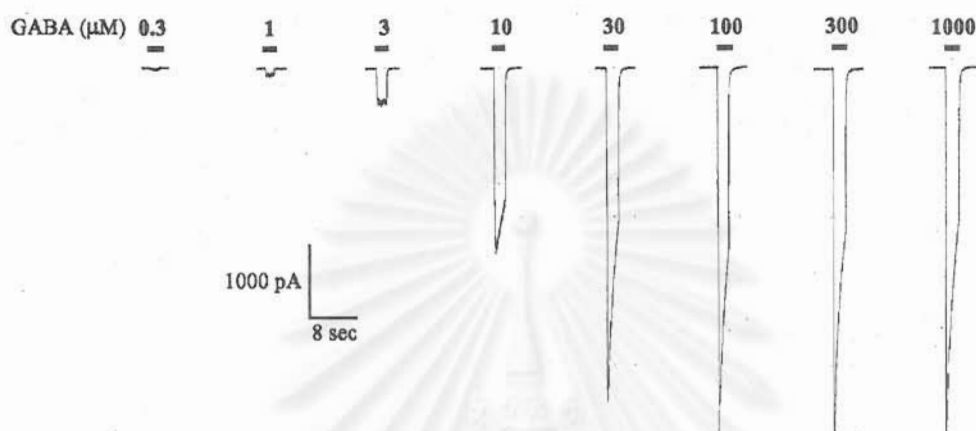
2.2 ผลของ Diazepam และ Pentobarbital sodium ต่อตัวรับ gamma-AE

กระแตที่เกิดจากการให้ gamma (GABA) จะเพิ่มฤทธิ์ได้โดยให้ร่วมกับ Diazepam (รูปที่ 9) และ Pentobarbital sodium (รูปที่ 10)

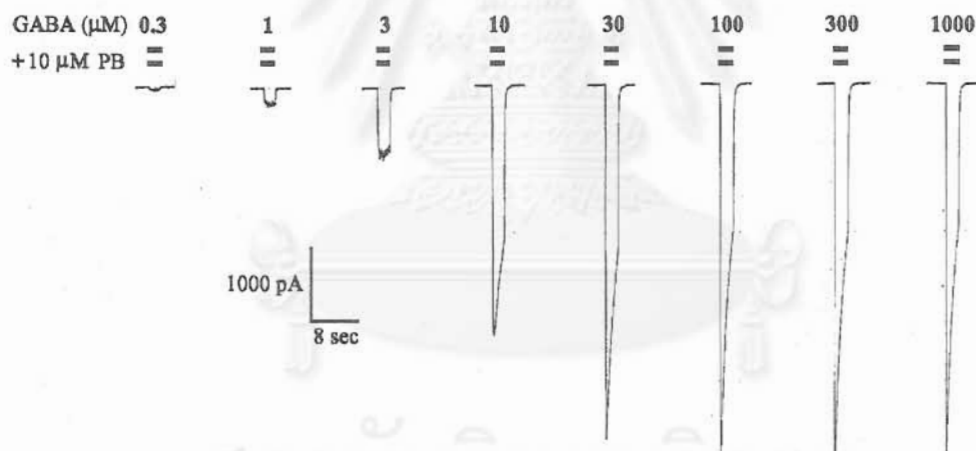


รูปที่ 9 ภาพบันทึกแสดงผลของ Diazepam 1 μM ในการเสริมฤทธิ์ของ GABA ความเข้มข้น 0.3-1000 μM ที่ทำให้เกิดกระแตที่หลังเข้าเซลล์ (Inward currents) ในเซลล์ประสาทรูปปิรามิด A. ผลกระทบให้ GABA เดียว , B. ผลกระทบให้ GABA ร่วมไปกับ Diazepam

A. GABA alone

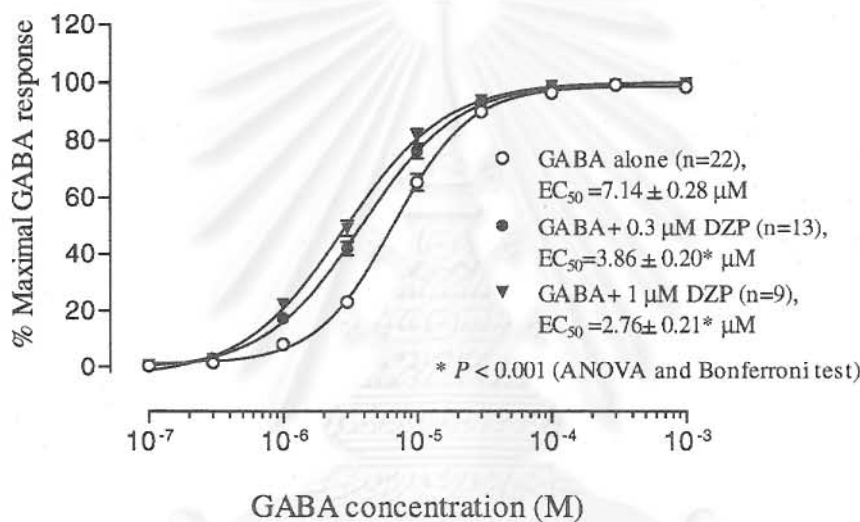


B. GABA + 10 μM Pentobarbital Sodium



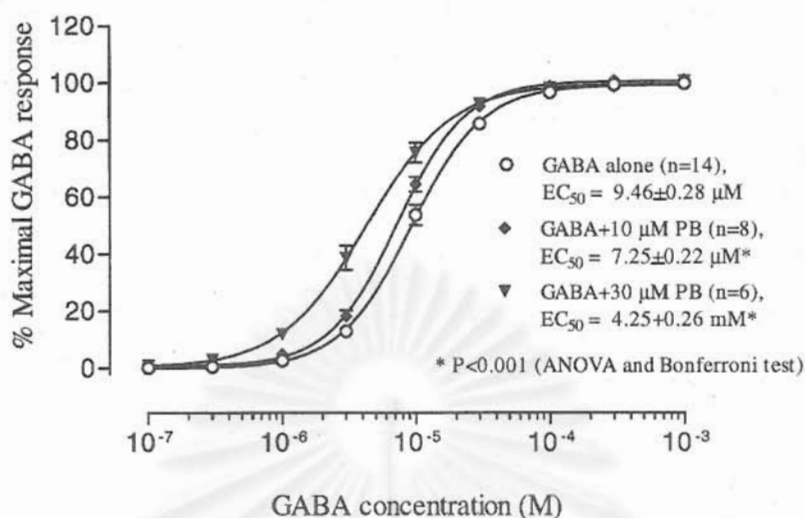
รูปที่ 10 ภาพบันทึกแสดงผลของ Pentobarbital sodium (PB) 10 μM ในการเสริมฤทธิ์ของ GABA ความเข้มข้น 0.3-1000 μM ที่ทำให้เกิดกระแสไฟลเข้าเซลล์ (Inward currents) ในเซลล์ประสาทรูปปิรามิด A. ผลจากการให้ GABA เดียว , B. ผลจากการให้ GABA ร่วมไปกับ Pentobarbital sodium

เมื่อให้สาร Diazepam 0.3 และ 1 μM ร่วมกับสาร gamma ความเข้มข้น 0.3-1000 μM พนว่าสาร Diazepam สามารถเสริมฤทธิ์ของ gamma ได้ โดยทำให้ค่า GABA EC₅₀ ลดลงจาก $7.14 \pm 0.28 \mu\text{M}$ ($n=22$) เมื่อให้ gamma เดี่ยว ไปเป็น $3.86 \pm 0.20 \mu\text{M}$ เมื่อให้ gamma ร่วมกับ $0.3 \mu\text{M}$ Diazepam ($P < 0.001$, ANOVA and Bonferroni test; $n=13$) และเป็น $2.76 \pm 0.21 \mu\text{M}$ เมื่อให้ gamma ร่วมกับ $1 \mu\text{M}$ Diazepam ($P < 0.001$; $n=9$) (รูปที่ 11)



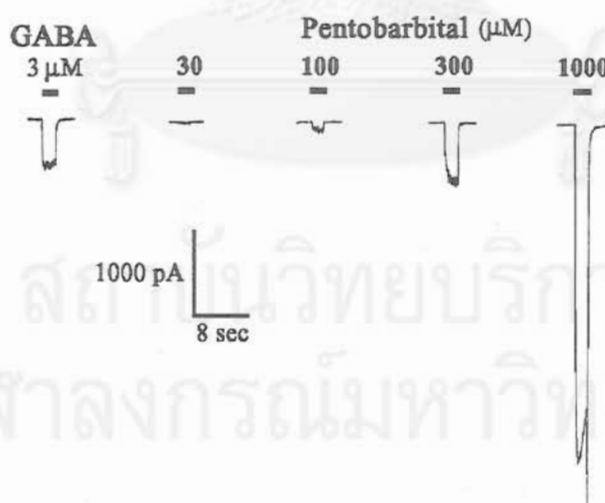
รูปที่ 11 GABA concentration-response curve แสดงการเสริมฤทธิ์ของ gamma ด้วยสาร 0.3 และ 1 μM Diazepam (DZP)

เมื่อให้สาร Pentobarbital sodium 10 และ 30 μM ร่วมกับสาร gamma ความเข้มข้น 0.3-1000 μM พนว่าสาร Pentobarbital sodium สามารถเสริมฤทธิ์ของ gamma ได้ โดยทำให้ค่า GABA EC₅₀ ลดลงจาก $9.46 \pm 0.28 \mu\text{M}$ ($n=14$) เมื่อให้ gamma เดี่ยว ไปเป็น $7.25 \pm 0.22 \mu\text{M}$ เมื่อให้ gamma ร่วมกับ $10 \mu\text{M}$ Pentobarbital sodium ($P < 0.001$, ANOVA and Bonferroni test; $n=8$) และเป็น $4.25 \pm 0.26 \mu\text{M}$ เมื่อให้ gamma ร่วมกับ $30 \mu\text{M}$ Pentobarbital sodium ($P < 0.001$; $n=6$) (รูปที่ 12)



รูปที่ 12 GABA concentration-response curve แสดงการเสริมฤทธิ์ของ gamma ด้วยสาร 10 และ 30 μM Pentobarbital sodium (PB)

การให้ Pentobarbital sodium เดี่ยว ความเข้มข้น 30-1000 μM ก็สามารถกระตุ้นตัวรับ gamma เอให้เปิดและมีกระแสไฟลเข้าเซลล์ได้เช่นเดียวกับ gamma (รูปที่ 13)

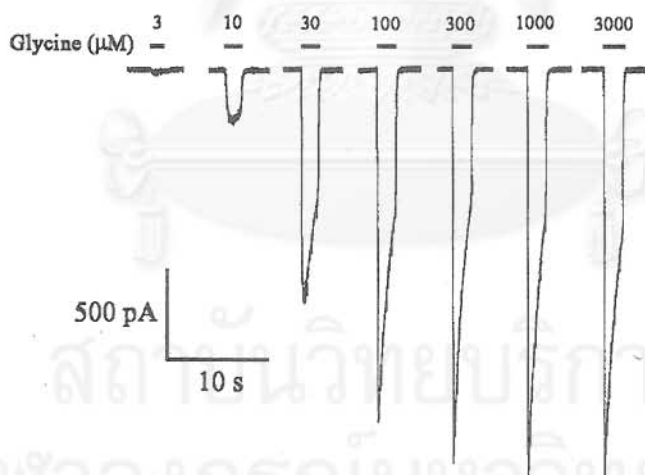


รูปที่ 13 ภาพบันทึกแสดงผลกระตุ้นโดยตรงของ Pentobarbital sodium 30-1000 μM ต่อตัวรับ gamma เอ ที่ทำให้เกิดกระแสไฟลเข้าเซลล์ (Inward currents) ในเซลล์ประสาทรูปปีรามิด เปรียบเทียบกับ GABA 3 μM

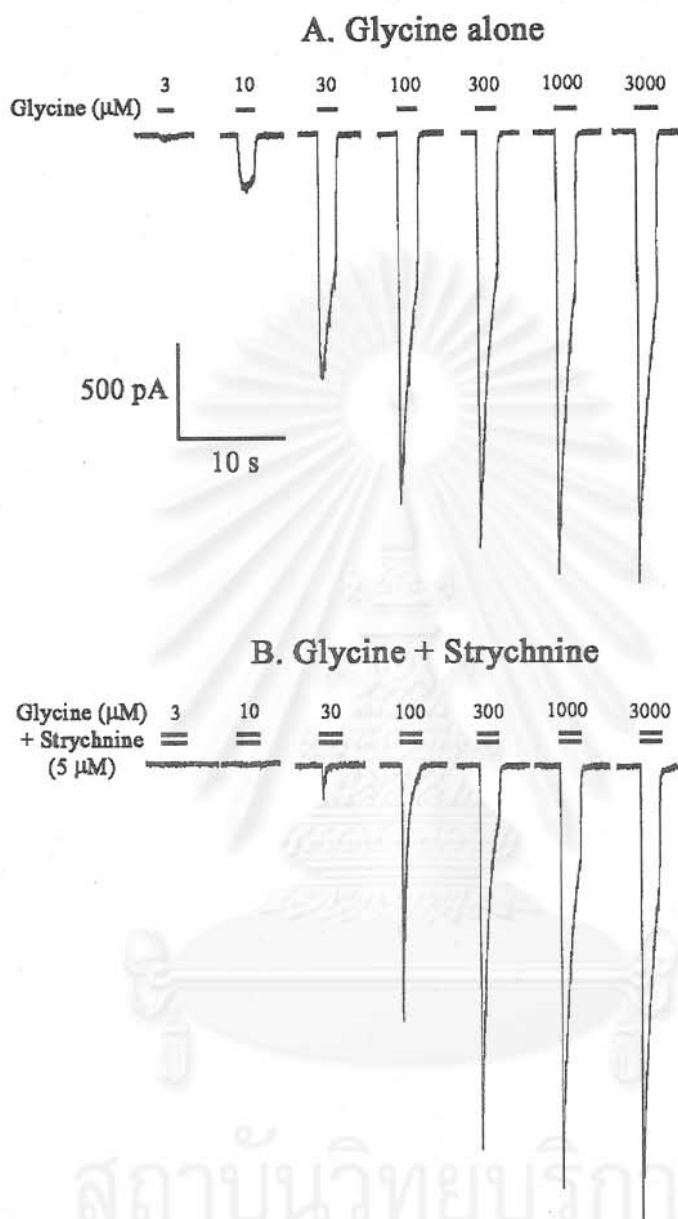
3. การศึกษาคุณสมบัติของตัวรับไกลซีน (Glycine receptor) ของเซลล์ประสาทเดี่ยวที่แยกจากสมองส่วนอิปโปแคมปัส (Hippocampus) ของหนูขาว

จากการศึกษาผลของการให้สารไกลซีน (Glycine) ซึ่งจะไปกระตุ้นตัวรับไกลซีน (Glycine receptor, Strychnine-sensitive glycine receptor) บนเยื่อหุ้มเซลล์ประสาททำให้ช่องไอออนของตัวรับเปิด เกิดการไหลของคลอไรด์ไอออนผ่านช่องภายในตัวรับ โดยใช้เทคนิคแพทช์แคลมป์ (Patch clamp) เพื่อบันทึกกระแสซึ่งไหลผ่านเยื่อหุ้มเซลล์แบบทั้งเซลล์ (Whole-cell recordings) พบว่าเซลล์ประสาทรูปปีรามิดที่แยกได้สามารถตอบสนองต่อการกระตุ้นโดยสารไกลซีนได้ และมีการตอบสนองเพิ่มขึ้นตามความเข้มข้นของไกลซีน ที่ให้ (รูปที่ 14) โดยกระแสที่เกิดจากการให้ไกลซีน จะถูกยับยั้งได้โดยสาร Strychnine ซึ่งเป็นสารต้านไกลซีน ชนิดแข่งขัน (Competitive antagonist) (รูปที่ 15) ที่ตัวรับไกลซีน

A. Glycine alone

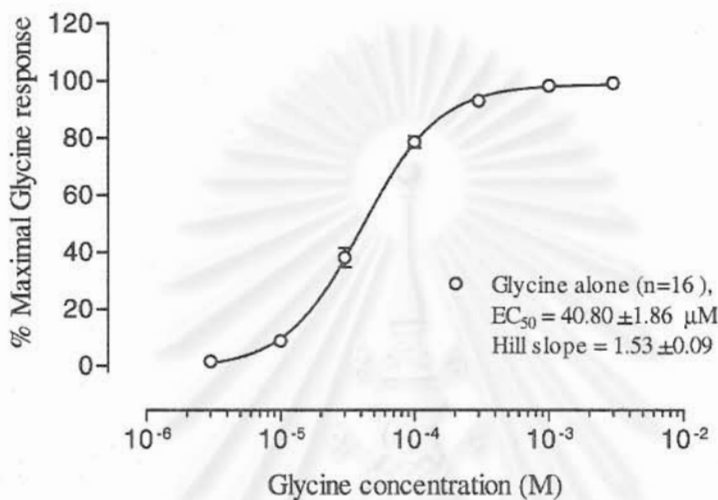


รูปที่ 14 ภาพบันทึกของกระแสไฟฟ้าที่ไหลเข้าเซลล์ (Inward currents) ในเซลล์ประสาทรูปปีรามิดที่แยกได้ทันทีจากสมองส่วน Hippocampus ของหนูขาว จากการให้ไกลซีน ความเข้มข้น 3-3000 μM



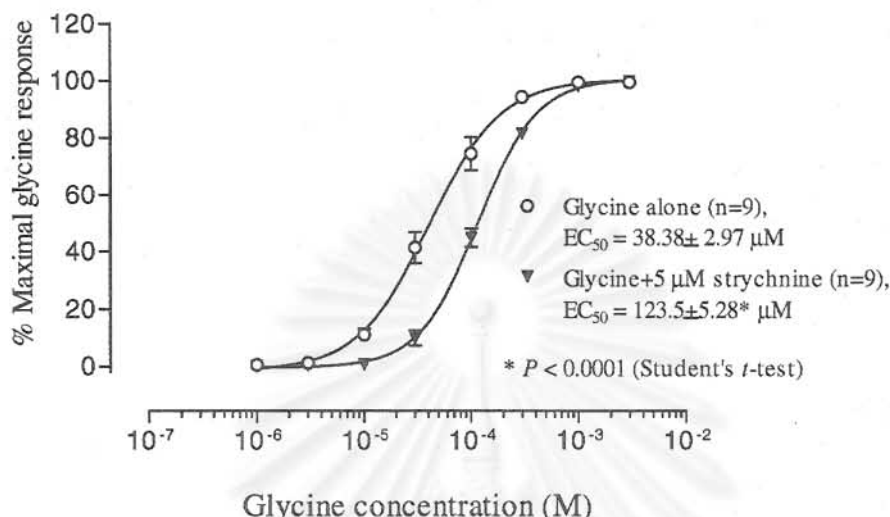
รูปที่ 15 ภาพบันทึกแสดงผลของ Strychnine 5 μM ในการยับยั้งฤทธิ์ของ Glycine ความเข้มข้น 3-3000 μM ที่ทำให้เกิดกระแสไฟลเข้าเซลล์ (Inward currents) ในเซลล์ประสาทรูปปีรามิด A. ผลจากการให้ Glycine เดียว , B. ผลจากการให้ Glycine ร่วมไปกับ Strychnine

เมื่อนำผลที่ได้มาสร้างกราฟระหว่าง ความเข้มข้นของไกลซีน (Glycine concentration) กับร้อยละของการตอบสนองสูงสุดของเซลล์ประสาท (%Maximal Glycine response) พบว่า ค่า Glycine EC₅₀ ที่ได้จาก Glycine concentration-response curves เท่ากับ $40.80 \pm 1.86 \mu\text{M}$ ($n=16$) (รูปที่ 16)



รูปที่ 16 Glycine concentration-response curve ที่ได้จากการให้ Glycine ความเข้มข้น 3-3000 μM ไปยังเซลล์ประสาทรูปปิรามิด จากกราฟคำนวณหาค่า Glycine EC₅₀ = $40.80 \pm 1.86 \mu\text{M}$ และ Hill slope = 1.53 ± 0.09 ($n=16$)

เมื่อให้สาร strychnine 5 μM ร่วมกับสารไกลซีน ความเข้มข้น 3-3000 μM พบว่าสาร strychnine สามารถบันยั่งฤทธิ์ของไกลซีนได้ โดยทำให้ค่า Glycine EC₅₀ เพิ่มขึ้นจาก $38.38 \pm 2.97 \mu\text{M}$ เมื่อให้กานาเดียว ไปเป็น $123.5 \pm 5.28 \mu\text{M}$ เมื่อให้ไกลซีนร่วมกับ strychnine ($P<0.0001$, Student's *t*-test; $n=9$) โดยค่าการตอบสนองสูงสุดไม่เปลี่ยนแปลง (รูปที่ 17)



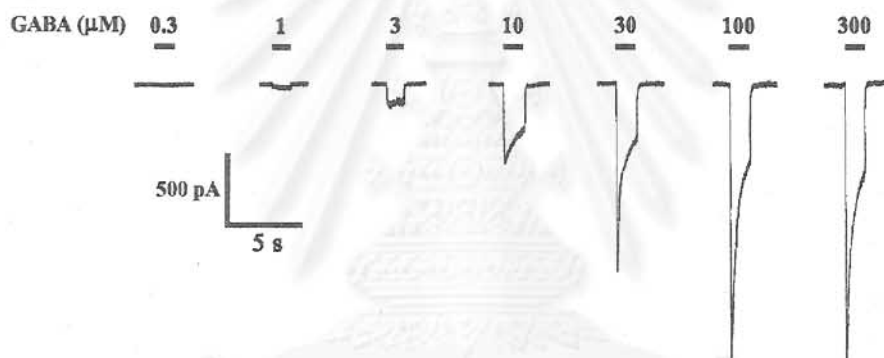
รูปที่ 17 Glycine concentration-response curve แสดงการยับยั้งฤทธิ์ของไกลซีนด้วยสาร strychnine ค่า Glycine EC_{50} เพิ่มขึ้นจาก $38.38 \pm 2.97 \mu M$ เมื่อให้กาบadeiywa ไปเป็น $123.5 \pm 5.28 \mu M$ เมื่อให้ไกลซีนร่วมกับ strychnine ($P < 0.0001$, Student's *t*-test; n=9)

4. การศึกษาผลของบาราคอลต่อตัวรับ gamma-aminobutyric acid (GABA_A receptor)

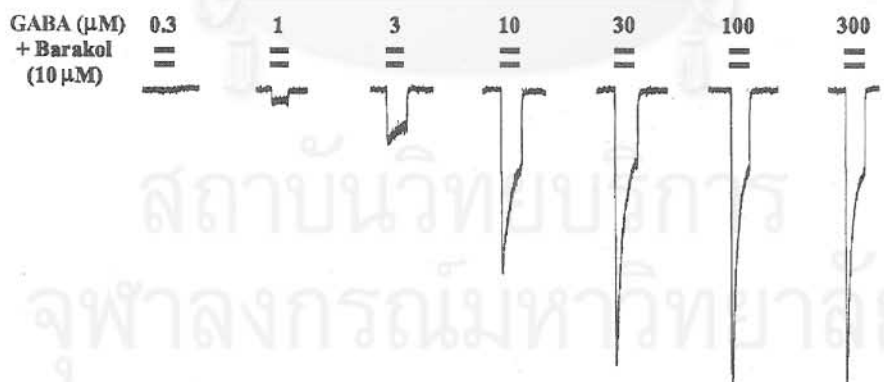
4.1 ผลของบาราคอล, Diazepam และ Pentobarbital sodium ต่อตัวรับ gamma-aminobutyric acid

การให้สารบาราคอล ความเข้มข้น 10 μM ร่วมไปกับ กานา (ความเข้มข้นตั้งแต่ 0.3-300 μM) แก่เซลล์ประสาทรูปปิรามิด พนว่าสารบาราคอลจะเสริมฤทธิ์ กานา ทำให้เกิดการตอบสนองมากขึ้น โดยกระแสที่ไหลผ่านเยื่อหุ้มเซลล์ของเซลล์ประสาทเพิ่มสูงขึ้น (รูปที่ 18, 20) ในขณะที่การให้สารบาราคอล ความเข้มข้น 1 μM ร่วมไปกับ กานา พนว่าสารบาราคอลจะทำให้เกิดการตอบสนองมากขึ้นเล็กน้อย (รูปที่ 20)

A. GABA alone

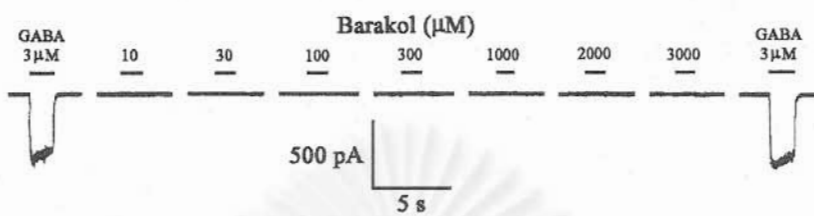


B. GABA + 10 μM Barakol



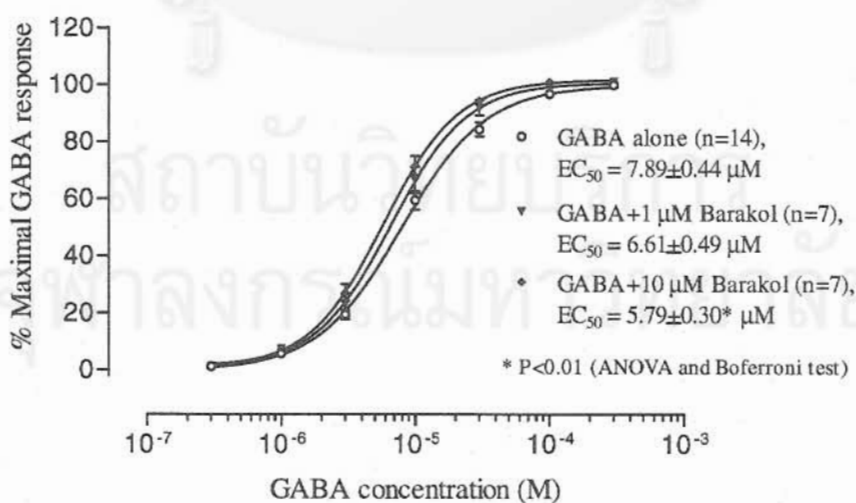
รูปที่ 18 ภาพบันทึกแสดงผลของบาราคอล ความเข้มข้น 10 μM ในการเสริมฤทธิ์ของ GABA ความเข้มข้น 0.3-300 μM ที่ทำให้เกิดกระแสไฟล์เข้าเซลล์ (Inward currents) ในเซลล์ประสาทรูปปิรามิด A. ผลจากการให้ GABA เดียว, B. ผลจากการให้ GABA ร่วมไปกับบาราคอล

เมื่อให้สารบาราคอลเดี่ยว ความเข้มข้น 10-3000 μM ไม่พบว่าเกิดการกระตุ้นให้เกิดกระแสไฟล์ผ่านเยื่อหุ้มเซลล์ ($n=5$) (รูปที่ 19)



รูปที่ 19 ภาพบันทึกแสดงผลบาราคอล ความเข้มข้น 30-3000 μM ไม่ทำให้เกิดกระแสไฟล์ผ่านเยื่อหุ้มเซลล์ (membrane currents) ในเซลล์ประสาทรูปปิรามิด เปรียบเทียบกับการให้ GABA 3 μM

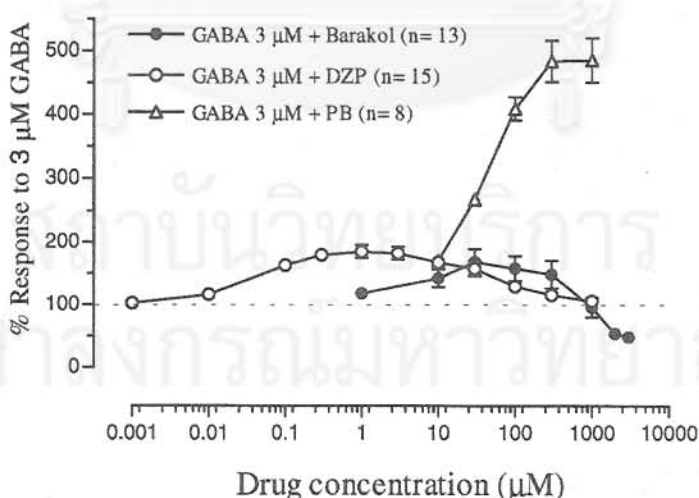
เมื่อให้สารบาราคอล 1 และ 10 μM ร่วมกับสารกานา ความเข้มข้น 0.3-300 μM พบร้าสารบาราคอล 10 μM สามารถเสริมฤทธิ์ของกานาได้ โดยทำให้ค่า GABA EC₅₀ ลดลงจาก $7.89 \pm 0.44 \mu\text{M}$ ($n=14$) เมื่อให้กานาเดี่ยว ไปเป็น $5.79 \pm 0.30 \mu\text{M}$ เมื่อให้กานาร่วมกับบาราคอล 10 μM ($P<0.01$, ANOVA and Bonferroni test; $n=7$) สำหรับการให้กานาร่วมกับบาราคอล 1 μM ค่า GABA EC₅₀ จะลดลงเป็น $6.61 \pm 0.49 \mu\text{M}$ แต่ไม่แตกต่างอย่างมีนัยสำคัญทางสถิติ ($P>0.05$; $n=7$) (รูปที่ 20)



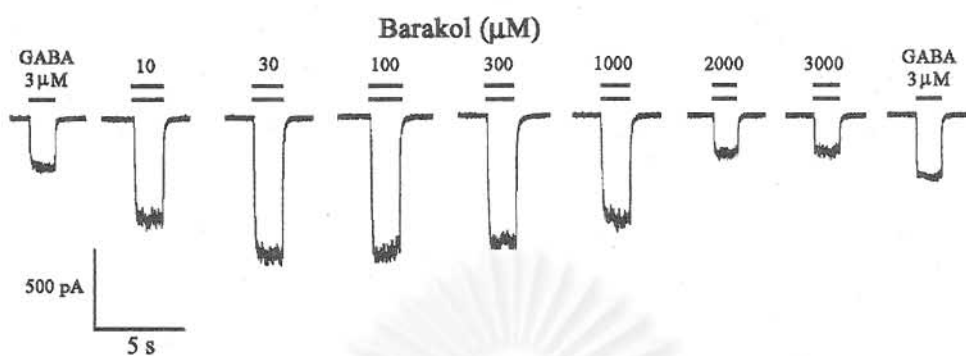
รูปที่ 20 ผลของบาราคอล 1 และ 10 μM ที่มีต่อ GABA concentration-response curve ที่ได้จากการให้ GABA ความเข้มข้น 0.3-300 μM ไปยังเซลล์ประสาทรูปปิรามิด

เมื่อให้สารกานา ($3 \mu\text{M}$) ร่วมกับ บาราคอล (ความเข้มข้น $1-3000 \mu\text{M}$) หรือ Diazepam ($0.001-1000 \mu\text{M}$) หรือ Pentobarbital sodium ($10-1000 \mu\text{M}$) เพื่อศึกษาฤทธิ์ของสารทั้ง 3 ที่มีต่อกระแสรไหเลเซ็ลล์ที่เกิดจากการกระตุ้นด้วย กานา ($3 \mu\text{M}$) พบร่วมกัน ความเข้มข้นต่ำสุดที่เริ่มเห็นการเสริมฤทธิ์กานา ของ Diazepam เท่ากับ $0.01 \mu\text{M}$ บาราคอล เท่ากับ $10 \mu\text{M}$ และ Pentobarbital เท่ากับ $10 \mu\text{M}$ โดยการเสริมฤทธิ์สูงสุดของ Diazepam อยู่ที่ความเข้มข้นเท่ากับ $1 \mu\text{M}$ เสริมฤทธิ์ได้เท่ากับ $184.8 \pm 9.97\%$ ($n=15$) ของบาราคอลอยู่ที่ $30 \mu\text{M}$ เสริมฤทธิ์ได้เท่ากับ $168.2 \pm 20.66\%$ ($n=15$) และของ Pentobarbital อยู่ที่ $300 \mu\text{M}$ เสริมฤทธิ์ได้เท่ากับ $482.3 \pm 32.54\%$ ($n=8$) (รูปที่ 21-24) ซึ่งสูงกว่าบาราคอล และ Diazepam อย่างมีนัยสำคัญทางสถิติ ($P<0.001$, ANOVA and Bonferroni test)

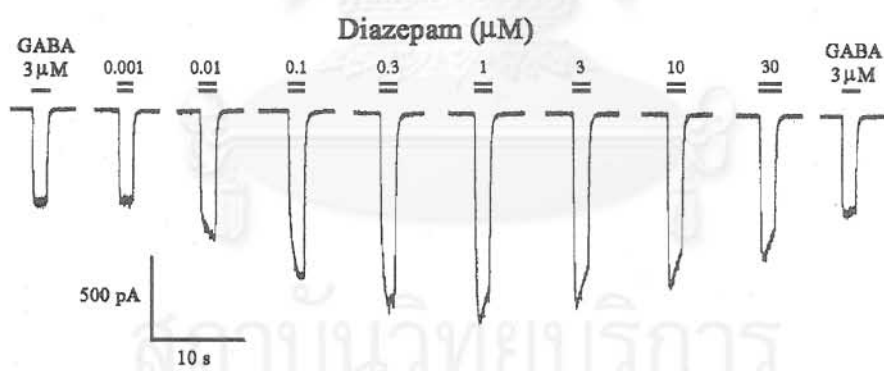
เมื่อเพิ่มความเข้มข้นของบาราคอลขึ้นมากกว่า $30 \mu\text{M}$ ร้อยละของการเสริมฤทธิ์จะน้อยลง จนความเข้มข้นมากกว่า $1000 \mu\text{M}$ สารบาราคอลกลับมีฤทธิ์ยับยั้งสารกานา (รูปที่ 21-22) ในขณะที่เมื่อเพิ่มความเข้มข้นของ Diazepam ขึ้นมากกว่า $1 \mu\text{M}$ ร้อยละของการเสริมฤทธิ์จะลดลง แต่ไม่ยับยั้งฤทธิ์ของกานา (รูปที่ 21, 23) ซึ่งลักษณะการตอบสนองแบบนี้ไม่พบกับ Pentobarbital ที่ความเข้มข้นถึง $1000 \mu\text{M}$ (รูปที่ 21, 24)



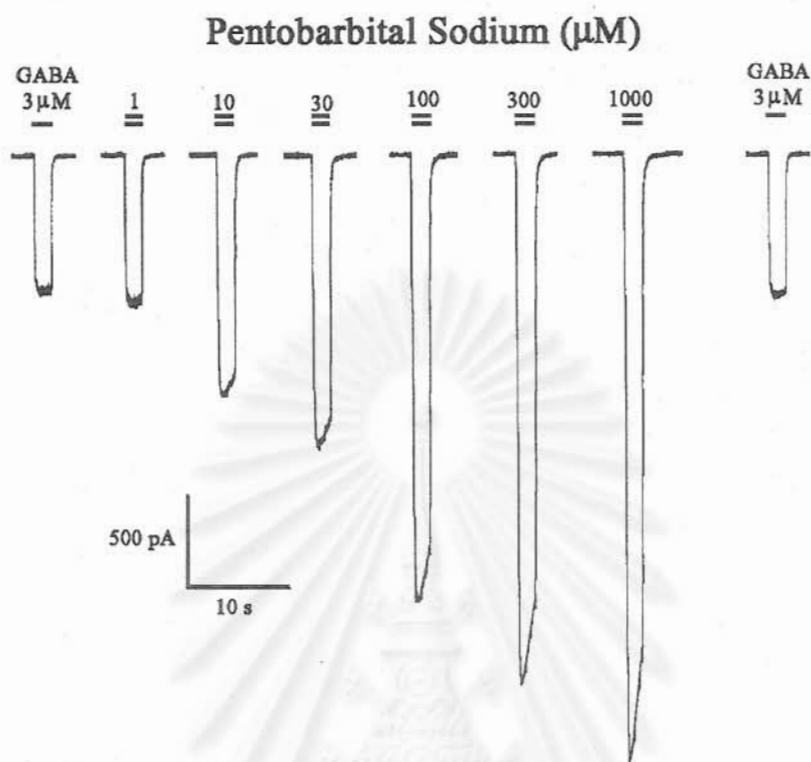
รูปที่ 21 ผลของบาราคอล ($1-3000 \mu\text{M}$, Barakol), Diazepam ($0.001-1000 \mu\text{M}$, DZP), และ Pentobarbital sodium ($10-1000 \mu\text{M}$, PB) ที่มีต่อกระแสรไหเลเซ็ลล์ที่เกิดจากการให้ $3 \mu\text{M}$ GABA ไปยังเซลล์ประสาทรูปปิรามิด



รูปที่ 22 ภาพบันทึกแสดงผลของบาราโคด (Barakol), ความเข้มข้น 10-3000 μM ในการเสริมฤทธิ์ของ GABA ความเข้มข้น 3 μM ที่ทำให้เกิดกระแสไฟลเข้าเซลล์ (Inward currents) ในเซลล์ประสาทรูปปีรามิด

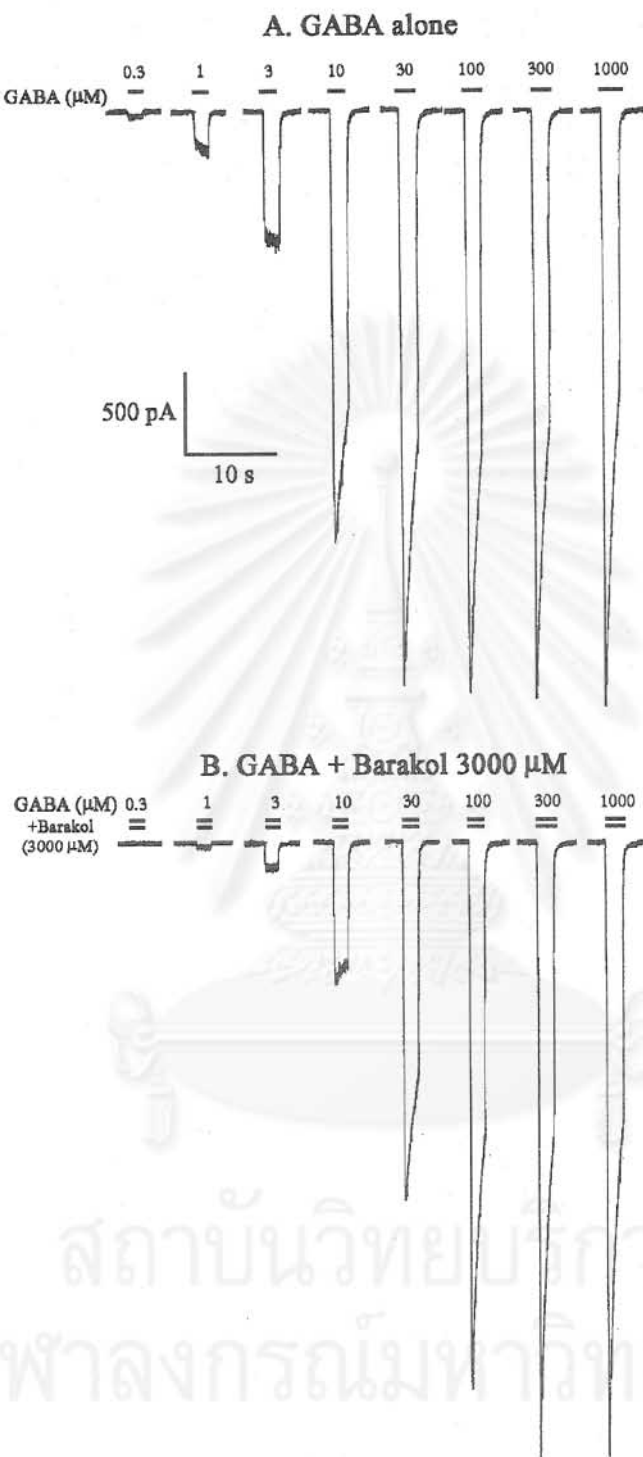


รูปที่ 23 ภาพบันทึกแสดงผลของ Diazepam (DZP) ความเข้มข้น 0.001-30 μM ในการเสริมฤทธิ์ของ GABA ความเข้มข้น 3 μM ที่ทำให้เกิดกระแสไฟลเข้าเซลล์ (Inward currents) ในเซลล์ประสาทรูปปีรามิด

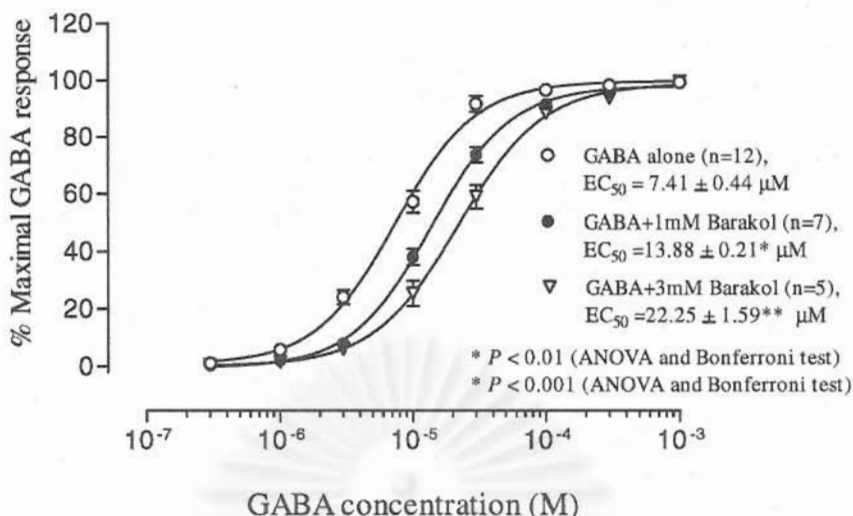


รูปที่ 24 ภาพบันทึกแสดงผลของ Pentobarbital sodium (PB) ความเข้มข้น 1-1000 μM ใน การเสริมฤทธิ์ของ GABA ความเข้มข้น 3 μM ที่ทำให้เกิดกระแสไฟลเข้าเซลล์ (Inward currents) ในเซลล์ประสาทรูปปีรามิด

เมื่อให้สาร บาราโคลความเข้มข้นสูง (1000-3000 μM) ร่วมกับสารกานา ความเข้มข้น 0.3-1000 μM พบร่วมกับสาร บาราโคลความเข้มข้นสูง สามารถยับยั้งฤทธิ์ของกานาได้ โดยทำให้ค่า GABA EC₅₀ เพิ่มขึ้นจาก $7.41 \pm 0.44 \mu\text{M}$ เมื่อให้กานาเดี่ยว ($n=12$) ไปเป็น $13.88 \pm 0.21 \mu\text{M}$ เมื่อให้กานา ร่วมกับบาราโคล 1000 μM ($P<0.01$, ANOVA and Bonferroni test; $n=7$) และเป็น $22.22 \pm 1.59 \mu\text{M}$ เมื่อให้กานาร่วมกับบาราโคล 3000 μM ($P<0.001$; $n=7$) โดยค่าการตอบสนองสูงสุดไม่เปลี่ยนแปลง (รูปที่ 25-26)



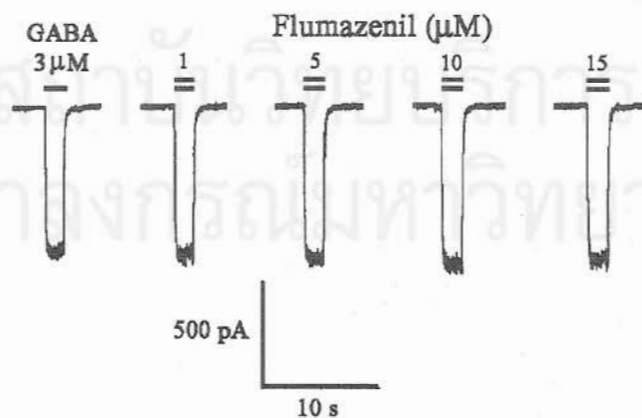
รูปที่ 25 ภาพบันทึกแสดงผลของบาราคอล ความเข้มข้น 3000 μM ในการยับยั้งฤทธิ์ของ GABA ความเข้มข้น 0.3-300 μM ที่ทำให้เกิดกระแสไฟลเข้าเซลล์ (Inward currents) ในเซลล์ประสาทรูปปิรามิด A. ผลจากการให้ GABA เดียว , B. ผลจากการให้ GABA ร่วมไปกับบาราคอล



รูปที่ 26 ผลของบาราโคล 1000 และ 3000 μM ที่มีต่อ GABA concentration-response curve ที่ได้จากการให้ GABA ความเข้มข้น 0.3-1000 μM ไปยังเซลล์ประสาทรูปปิรามิด

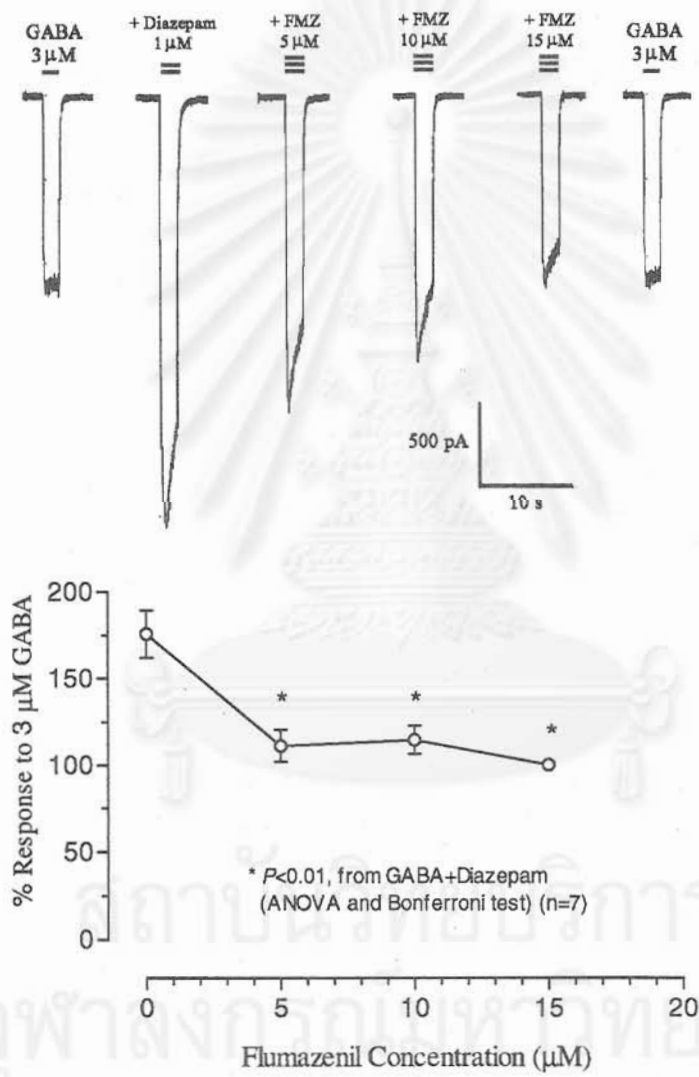
4.2 ผลของ Flumazenil ที่มีต่อการเสริมฤทธิ์ของบาราโคล และ Diazepam ต่อ กานาที่ตัวรับกานาเออ

การให้สาร Flumazenil ความเข้มข้น 1-15 μM ร่วมกับ กานา ความเข้มข้น 3 μM พบร่วมกันไม่มีผลต่อกระแสไฟล์เข้าเซลล์ (Inward currents) ที่เกิดจากการให้ กานา ในเซลล์ประสาทรูปปิรามิด ($n=5$) (รูปที่ 27)



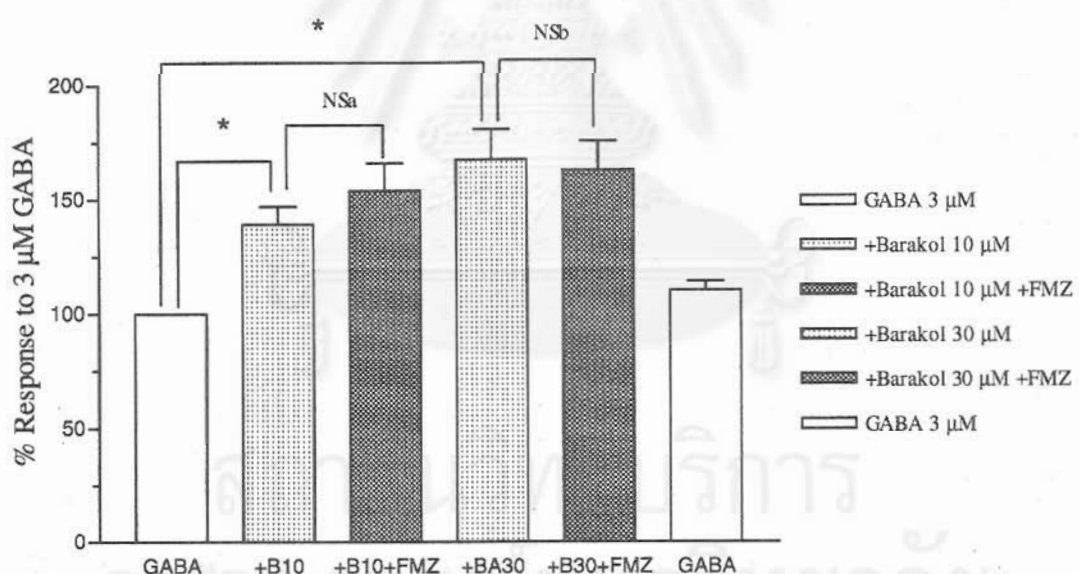
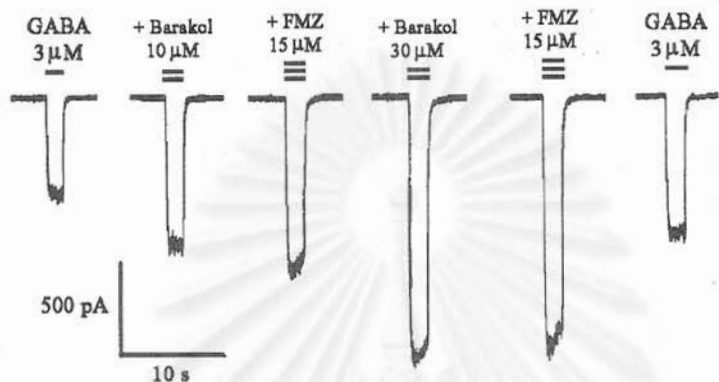
รูปที่ 27 ภาพบันทึกแสดงผล Flumazenil ความเข้มข้น 1-15 μM ไม่มีผลต่อกระแสไฟล์เข้าเซลล์ (Inward currents) ที่เกิดจากการให้ GABA ความเข้มข้น 3 μM ในเซลล์ประสาทรูปปิรามิด

เมื่อให้สาร Flumazenil ความเข้มข้น 5-15 μM ร่วมกับ GABA ความเข้มข้น 3 μM และ Diazepam ความเข้มข้น 1 μM และพบว่า สามารถยับยั้งการเสริมฤทธิ์ของ Diazepam ที่มีต่อ GABA ที่ทำให้เกิดกระแสไฟลเข้าเซลล์ ในเซลล์ประสาทรูปปิรามิด ($n=7$) (รูปที่ 28)



รูปที่ 28 ภาพบันทึกและกราฟแสดงผลการยับยั้งของ Flumazenil (5-15 μM) (FMZ) ต่อการเสริมฤทธิ์ของ Diazepam (1 μM) ต่อ GABA (3 μM) ที่ทำให้เกิดกระแสไฟลเข้าเซลล์ ในเซลล์ประสาทรูปปิรามิด

เมื่อให้สาร Flumazenil ความเข้มข้น 15 μM ร่วมกับ GABA ความเข้มข้น 3 μM และบาราโคล ความเข้มข้น 10 และ 30 μM พบร่วมกัน ไม่สามารถยับยั้งการเสริมฤทธิ์ของบาราโคลที่มีต่อ GABA ที่ทำให้เกิดกระแสไฟล์เข้าเซลล์ ในเซลล์ประสาทรูปปิรามิด ($n=6$) (รูปที่ 29)



* from GABA alone; $P<0.01$, Student's *t*-test

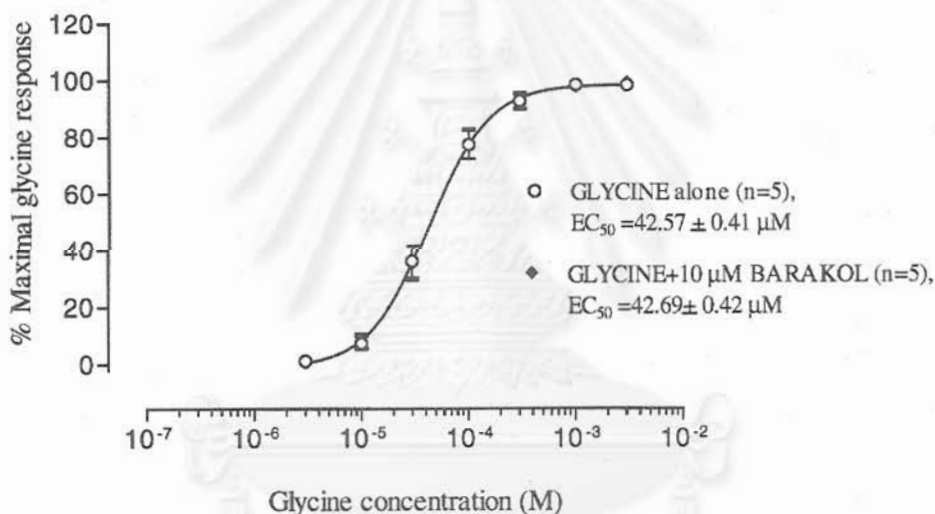
NS^a from GABA+Barakol 10 μM ; $P>0.05$, Student's *t*-test

NS^b from GABA+Barakol 30 μM ; $P>0.05$, Student's *t*-test

รูปที่ 29 ภาพบันทึกและกราฟแสดง Flumazenil (5-15 μM , FMZ) ไม่มีผลต่อการเสริมฤทธิ์ของบาราโคล (10-30 μM) ต่อ GABA (3 μM) ที่ทำให้เกิดกระแสไฟล์เข้าเซลล์ในเซลล์ประสาทรูปปิรามิด

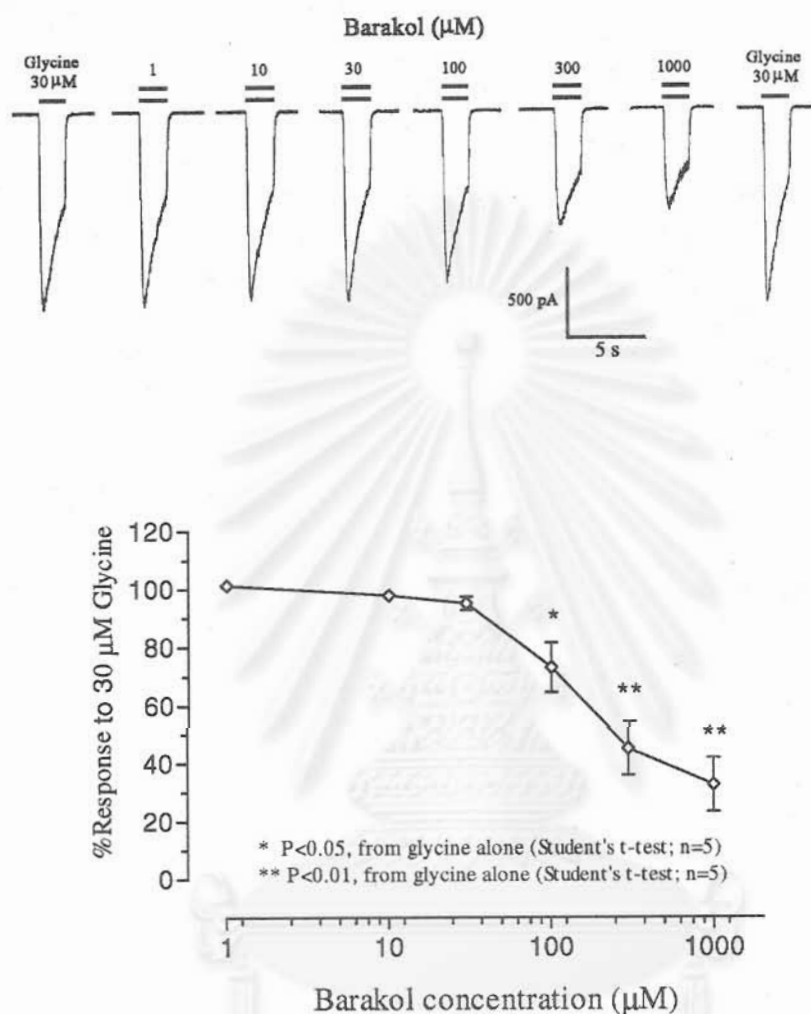
5. ผลของบาราคอลต่อตัวรับไกลซีน (Glycine receptor)

การให้สารบาราคอล ขนาดต่ำความเข้มข้น 10 μM ร่วมไปกับไกลซีน (Glycine) (ความเข้มข้นตั้งแต่ 3-3000 μM) แก่เซลล์ประสาทรูปปิรามิด พบว่าสารบาราคอลจะไม่มีผลต่อกระแสไฟฟ้าผ่านเยื่อหุ้มเซลล์ที่กระตุ้นด้วยไกลซีน โดยค่า EC_{50} เท่ากับ $42.57 \pm 0.41 \mu\text{M}$ เมื่อให้ไกลซีนเดียว ($n=5$) และ $42.69 \pm 0.42 \mu\text{M}$ เมื่อให้ไกลซีนร่วมกับบาราคอล 10 μM ($P>0.05$, Student's t -test) (รูปที่ 30)



รูปที่ 30 บาราคอล 10 μM ไม่มีผลต่อ Glycine concentration-response curve ที่ได้จาก การให้ Glycine ความเข้มข้น 3-3000 μM ไปยังเซลล์ประสาทรูปปิรามิด

เมื่อให้สารไกลซีน (30 μM) ร่วมกับบาราคอล (ความเข้มข้น 1-3000 μM) เพื่อศึกษาฤทธิ์ของบาราคอล ที่มีต่อกระแสไฟฟ้าเซลล์ที่เกิดจากการกระตุ้นด้วยไกลซีน (30 μM) พบว่า บาราคอลความเข้มข้นต่ำ จะไม่มีผล แต่เมื่อเพิ่มความเข้มข้นจนถึง 100-1000 μM จะพบว่าบาราคอลสามารถยับยั้งฤทธิ์ของไกลซีนได้โดยการยับยั้งจะเพิ่มความเข้มข้นที่เพิ่มขึ้น (รูปที่ 31)

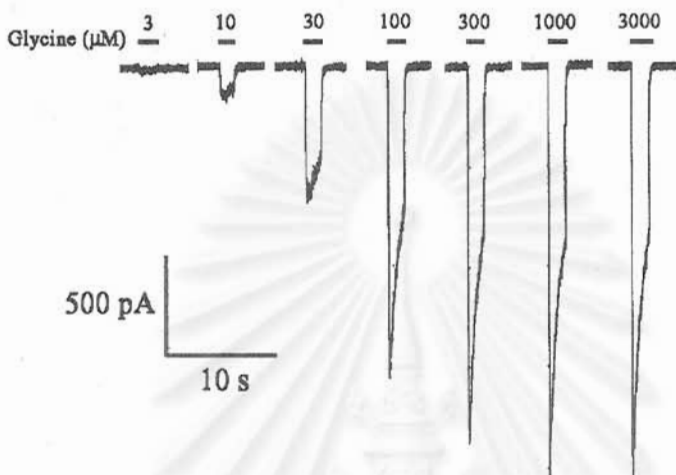


รูปที่ 31 ภาพบันทึกและกราฟแสดงผลของบารากอล (1-1000 μM , Barakol) ที่มีต่อกระแสที่เกิดจากการให้ 30 μM Glycine ไปยังเซลล์ประสาทรูปปิรามิด

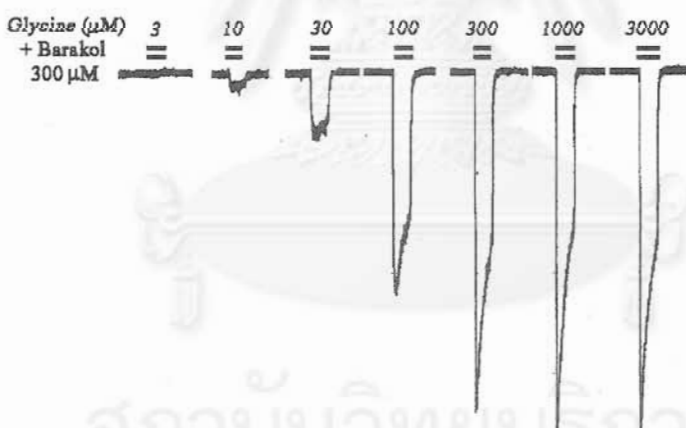
การให้สารบารากอล ขนาดสูงความเข้มข้น 100 และ 300 μM ร่วมไปกับ ไอกลซีน (ความเข้มข้นตั้งแต่ 1-10000 μM) แก่เซลล์ประสาทรูปปิรามิด พบร่วมกันสามารถยับยั้งฤทธิ์ของไอกลซีนได้โดยทำให้ค่า Glycine EC₅₀ เพิ่มขึ้นจาก $40.80 \pm 0.19 \mu\text{M}$ เมื่อให้กานาเดี้ยว ($n=12$) ไปเป็น $52.30 \pm 0.27 \mu\text{M}$ เมื่อให้ไอกลซีนร่วมกับบารากอล 100 μM ($P<0.001$, ANOVA and Bonferroni test; $n=6$) และ

เป็น $95.16 \pm 0.20 \mu\text{M}$ เมื่อให้ไอกลีนร่วมกับบาราคอล $300 \mu\text{M}$ ($P<0.001$; $n=6$) โดยทำการตอบสนองสูงสุดไม่เปลี่ยนแปลง (รูปที่ 32, 33)

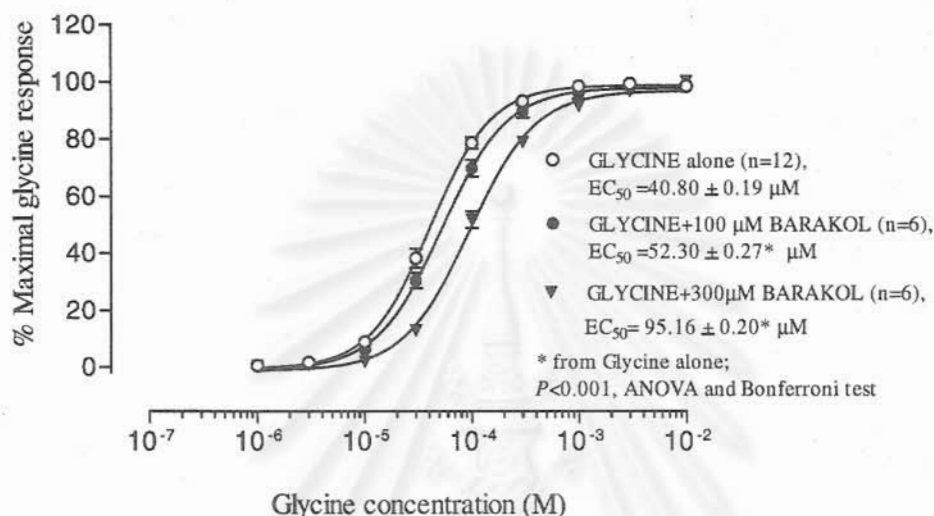
A. Glycine alone



B. Glycine + Barakol $300 \mu\text{M}$



รูปที่ 32 ภาพบันทึกแสดงผลของ บาราคอล $300 \mu\text{M}$ ในการยับยั้งฤทธิ์ของ Glycine ความเข้มข้น $3-3000 \mu\text{M}$ ที่ทำให้เกิดกระแสไฟลเข้าเซลล์ (Inward currents) ในเซลล์ประสาทรูปปีรามิด A. ผลจากการให้ Glycine เดียว , B. ผลจากการให้ Glycine ร่วมไปกับ บาราคอล



รูปที่ 33 ผลของบาราคอล 100 และ 300 μM ที่มีต่อ Glycine concentration-response curve ที่ได้จากการให้ Glycine ความเข้มข้น 3-3000 μM ไปยังเซลล์ประสาทรูปปิรามิด

การอภิปรายผล

เทคนิคแพทช์แคลมป์ (Patch clamp) เป็นวิธีการหนึ่งทางสรีรวิทยาไฟฟ้า ที่ใช้ในการวัดการไหลของกระแสไฟฟ้าผ่านช่องไอออน (ion channels) ของเยื่อชีวภาพ (biological membranes) ทั้งในระดับเซลล์ทั้งเซลล์ (whole-cell) และระดับช่องไอออนเดียว (single-channel) (Penner, 1995) สำหรับช่องไอออนที่ศึกษานั้นได้แก่ ช่องไอออนที่ถูกกระตุ้นด้วยความต่างศักย์ไฟฟ้า (voltage-gated ion channels เช่น ช่องไอออน Na^+ , K^+ , Ca^{2+} , Cl^- เป็นต้น), ช่องไอออนที่เป็นตัวรับ (receptor-gated ion channels) ของสิ่งเร้าต่างๆ เช่น สารสื่อประสาท อะร์โโนน หรือ แรงกด เป็นต้น, ช่องไอออนที่ถูกควบคุมโดย Second-messenger (second-messenger-activated channels) เช่น แกลเซอามิโนออกไซด์ในเซลล์, cAMP, cGMP, IP₃, G protein หรือ kinase เป็นต้น เทคนิคนี้ได้ถูกพัฒนาขึ้นมาเป็นครั้งแรกเพื่อใช้ในการศึกษากระแสไฟฟ้าที่ไหลผ่านช่องไอออนเดียว (single channel) บนเยื่อหุ้มเซลล์ เมื่อจาก การที่เทคนิคนี้มีอำนาจการแยกสูงในการบันทึกกระแสไฟฟ้า (high-resolution current recording) ที่ไหลผ่านช่องไอออนเดียวได้ (Neher and Sakmann, 1976) ซึ่งในการศึกษาครั้งนี้จะเลือกใช้ เทคนิคแพทช์แคลมป์ในการศึกษากระแสไฟฟ้าที่ไหลผ่านเยื่อหุ้มเซลล์แบบทั้งเซลล์ (Whole-cell application of the patch clamp technique) ทางช่องไอออนที่กระตุ้นให้เปิดโดยลิเกนด์ (Ligand-gated ion channel) 2 ชนิด คือ ตัวรับ gamma-aminobutyric acid (GABA_A receptor) และ ตัวรับไอกลีเซิน (Glycine receptor, strychnine-sensitive glycine receptor) เมื่อจากสารบารากอลที่ใช้ในการศึกษามีฤทธิ์ทำให้สงบ (sedation) จึงมีความเป็นไปได้ที่อาจออกฤทธิ์ผ่านทางตัวรับทั้งสองชนิด ที่เป็นตัวรับชนิดขับยั้งการทำงานของเซลล์ประสาท (Inhibitory receptor)

ในการศึกษาทางสรีรวิทยาไฟฟ้าที่ใช้เทคนิคแพทช์แคลมป์นี้ จะเป็นอย่างยิ่งที่จะต้องมีการเตรียมเซลล์ที่จะนำมาศึกษาให้เหมาะสม โดยเซลล์ที่จะนำมาใช้นั้นมีได้หลายรูปแบบ ได้แก่ เซลล์เพาะเลี้ยง (cultured neurone) ทั้งที่ได้จาก Primary culture (Stanfeld and Mathie, 1993) หรือจาก Cell lines เซลล์ประสาทเดียวที่แยกออกจากทันที (acutely dissociated neurone) โดยอาศัยเอนไซม์ ได้แก่ Trypsin (Kay and Wong, 1986), Protease (Kaneda *et al.*, 1988) โดยเฉพาะเอนไซม์ pronase and thermolysin (Sooksawate and Simmonds, 1998) และ แผ่นสมอง (brain slice) (Sakmann and Stuart, 1995) หรือ แผ่นไขสันหลัง (Spinal cord slices) (Pickering *et al.*, 1993) ในการศึกษาครั้งนี้ได้เลือกใช้เซลล์ประสาทเดียวที่แยกออกจากทันที โดยใช้วิธีของ Sooksawate and Simmonds (1998) และ Kaneda และคณะ (1988) ซึ่งมีข้อดี คือ สามารถทำได้ไม่ยาก และเซลล์ประสาทที่ได้ยังรักษาลักษณะทางสัณฐานวิทยา (Morphological structure) และสมบัติทางสรีรวิทยาไฟฟ้า และทางเคมี (Electrophysiological and chemical properties) ไว้ได้เป็นอย่างดี

ผลการศึกษาที่สามารถแยกเซลล์ประสาทเดี่ยวออกจากสมองส่วนอิปโปเคนบีสของหนูขาวได้ ตามวิธีของ Sooksawate and Simmonds (1998) ที่ใช้สัตว์ทดลองอายุ 21-27 วัน พบร่วมกันนวน เซลล์ประสาทที่ยังมีชีวิตอยู่มีจำนวนน้อยกว่าเมื่อเทียบกับเมื่อใช้สัตว์ทดลองที่มีอายุน้อยกว่านี้ คือ 10-16 วัน ใน การศึกษา ของ Sooksawate and Simmonds (1998) นอกจากนี้ยังพบว่าโอกาสที่จะประสบความสำเร็จในการทำการบันทึกแบบทั้งเซลล์ (Whole-cell recording) คือต่ำกว่า แต่ผลการศึกษานี้ก็ไม่ส่งผลกระทบต่อการศึกษาโดยใช้เทคนิคแพทช์คลัมป์ (Patch clamp) มากนัก เนื่องจากในการทดลองครั้งหนึ่งๆ เซลล์ประสาทที่แยกได้มีจำนวนมาก และมีเซลล์ที่มีชีวิตและสามารถทำการศึกษาได้เป็นระยะเวลาถึงมากกว่า 6 ชั่วโมง (ภายหลังการแยกเซลล์เดี่ยว นำไปใส่ในช่องบันทึกแล้ว และมีการปล่อยให้สารละลายเคลื่อนตัวเข้าออกชิจเอน (Oxygenated physiological salt solution) ให้หล่อผ่านเซลล์ตลอดเวลา) จำนวนมาก

ในการศึกษาตัวรับทราบเอดี (GABA_A receptor) ของเซลล์ประสาทเดี่ยวที่แยกได้ พบร่วมกันนวน เซลล์ประสาทเดี่ยวที่แยกได้มีการตอบสนองต่อการให้สารทราบเอดีเป็นอย่างดี โดยเริ่มตอบสนองต่อทราบที่ความเข้มข้น 0.1-0.3 μM และมีค่าการตอบสนองสูงสุดอยู่ในช่วง 2000-5500 pA จากการให้ทราบที่ความเข้มข้น 300-1000 μM (รูปที่ 3-6) ซึ่งก็ใกล้เคียงกับการศึกษาที่มีผู้รายงานไว้ (Hara *et al.*, 1994; Sooksawate and Simmonds, 2001) การตอบสนองของเซลล์ประสาทต่อทราบนี้ สามารถยับยั้งได้โดยสาร Bicuculline ซึ่งเป็นสารต้านทราบนิดแบ่งขัน (competitive antagonist) ที่ตัวรับทราบเอดี (รูปที่ 4) จากกราฟแสดงความสัมพันธ์ระหว่างความเข้มข้นของทราบกับร้อยละของการตอบสนองสูงสุด (รูปที่ 7) พบร่วมกัน Bicuculline ทำให้เส้นกราฟที่ได้เลื่อนไปทางขวาแบบบน ทำให้ค่า GABA EC₅₀ เพิ่มขึ้น โดยไม่เปลี่ยนแปลงการตอบสนองสูงสุด ซึ่งเป็นรูปแบบการยับยั้งการตอบสนองของสารต้านชนิดแบ่งขัน สำหรับการยับยั้งด้วยสาร Picrotoxinin ซึ่งเป็นสารต้านทราบนิดไม่แบ่งขัน (non-competitive antagonist) ที่ตัวรับทราบเอดี (รูปที่ 5) พบร่วมกัน Picrotoxinin ทำให้เส้นกราฟที่ได้เลื่อนไปทางขวาแบบไม่ขาน โดยมีการลดลงของการตอบสนองสูงสุด (รูปที่ 8) ซึ่งเป็นรูปแบบการยับยั้งการตอบสนองของสารต้านชนิดไม่แบ่งขัน (Macdonald and Olsen, 1994; Sieghart, 1995; Barnard *et al.*, 1998; Sooksawate and Simmonds, 2001) การตอบสนองของเซลล์ประสาทเดี่ยวต่อทราบนี้ สามารถเสริมฤทธิ์ได้โดยการให้ทราบร่วมกับสารในกลุ่ม Benzodiazepines คือ Diazepam (รูปที่ 9) หรือสารในกลุ่ม Barbiturates คือ Pentobarbital sodium (รูปที่ 10) สารทั้งสองชนิดนี้ออกฤทธิ์เพิ่มการกระตุ้นของทราบที่ตัวรับทราบเอดี (positive allosteric modulation) โดยการจับกับบริเวณยึดเหนี่ยวของสารนั้นบนตัวรับทราบเอดีต่างบริเวณกันและต่างจากบริเวณยึดเหนี่ยวของทราบ (Sieghart, 1995) จากรูปที่ 11 ซึ่งเป็นกราฟแสดงความสัมพันธ์ระหว่างความเข้มข้นของทราบกับร้อยละของการตอบสนองสูงสุด จะเห็นได้ว่า

Diazepam ทำให้เส้นกราฟที่ได้เลื่อนไปทางซ้ายแบบบานาน ทำให้ค่า GABA EC₅₀ ลดลง โดยไม่มีการเปลี่ยนการตอบสนองสูงสุด ซึ่งการเสริมฤทธิ์สามารถยับยั้งได้โดย Flumazenil ซึ่งเป็นสารต้าน (antagonist) ที่บีริเวณยีดเห็นยิยา (binding site) ของสารในกลุ่ม Benzodiazepines (Macdonald and Olsen, 1994; Sieghart, 1995; Barnard *et al.*, 1998) เมื่อให้กับร่วมกับ Pentobarbital sodium ก็ให้ผลเสริมฤทธิ์เข่นเดียวกันแต่ไม่สามารถยับยั้งด้วย Flumazenil (รูปที่ 12) นอกจากนี้ Pentobarbital sodium ยังมีฤทธิ์กระตุ้นโดยตรงต่อตัวรับ官能化 เอ ทำให้เกิดกระแสไฟลเข้าเซลล์ได้ โดยไม่ต้องให้ร่วมกับ官能化 (รูปที่ 13) และสามารถยับยั้งได้ด้วย Bicuculline (Macdonald and Olsen, 1994; Sieghart, 1995) จากผลการศึกษาดังกล่าวข้างต้นแสดงให้เห็นว่าตัวรับที่ศึกษานี้เป็นตัวรับชนิด官能化 เอ (GABA_A receptor) ซึ่งส่วนใหญ่เป็นชนิดย่อย (subtype) ที่ไวต่อ Diazepam (High affinity for diazepam) ที่พบทั่วไปประมาณ 80% โดยเฉพาะในเปลือกสมองใหญ่ (cerebral cortex) และสมองส่วนอิปโปแคมปัสที่ใช้ในการศึกษาครั้งนี้ (Sieghart, 1995; McKernan and Whiting, 1996; Möhler *et al.*, 1997; Barnard *et al.*, 1998) อย่างไรก็ตามในการศึกษาก็พบมีบางเซลล์แต่ไม่จำนวนน้อยที่ตอบสนองต่อ Diazepam ไม่มากนัก ก็อาจเป็นไปได้ว่าอาจเป็นชนิดย่อยอื่นที่ไวน้อยหรือไม่ไวต่อ diazepam (Low or no affinity for diazepam) ซึ่งก็พบได้ที่สมองส่วนอิปโปแคมปัสเช่นเดียวกันแต่ในสัดส่วนที่น้อย (McKernan and Whiting, 1996; Möhler *et al.*, 1997; Barnard *et al.*, 1998)

ในการศึกษาตัวรับไอกลซีน (Glycine receptor or strychnine-sensitive glycine receptor) ของเซลล์ประสาทเดี่ยวที่แยกได้ พบว่า เซลล์ประสาทเดี่ยวที่แยกได้มีการตอบสนองต่อการให้สารไอกลซีน ได้เป็นอย่างดี โดยความเข้มข้นของไอกลซีนที่ทำให้เซลล์ประสา�始เริ่มตอบสนองจะสูงกว่า官能化 เอ คือ ที่ความเข้มข้น 1-3 μM และมีค่าการตอบสนองสูงสุดอยู่ในช่วง 2000-5000 pA จากการให้ไอกลซีนที่ความเข้มข้น 3000-10000 μM (3-10 mM) (รูปที่ 14-16) ซึ่งก็ไอกลซีนที่มีผู้รายงานไว้ (Hara *et al.*, 1994; Kira *et al.*, 1998) การตอบสนองของเซลล์ประสาทด้วยไอกลซีนนี้ สามารถยับยั้งได้ด้วย Strychnine ซึ่งเป็นสารต้านไอกลซีนชนิดแข่งขัน (competitive antagonist) ที่ตัวรับไอกลซีน (รูปที่ 15) จากราฟแสดงความสัมพันธ์ระหว่างความเข้มข้นของไอกลซีนกับร้อยละของการตอบสนองสูงสุด (รูปที่ 17) พบว่า Strychnine ทำให้เส้นกราฟที่ได้เลื่อนไปทางขวาแบบบานาน ทำให้ค่า Glycine EC₅₀ เพิ่มขึ้น โดยไม่เปลี่ยนแปลงการตอบสนองสูงสุด ซึ่งเป็นรูปแบบการยับยั้งการตอบสนองของสารต้านชนิดแข่งขัน (Rajendra *et al.*, 1997) นอกจากที่ตัวรับนี้แล้ว ไอกลซีนยังเป็นตัวทำกรรร่วม (coagonist) กับกลูตาเมต ที่ตัวรับกลูตาเมต (Glutamate receptor) ชนิดตัวรับเอนเอ็มดีโอ (NMDA receptor) ซึ่งเป็นตัวรับในกลุ่มกระตุ้นการทำงานของเซลล์ประสาท (Danysz and Parsons, 1998) อย่างไรก็ตามตัวรับเอนเอ็มดีโอ (NMDA receptor) นี้ก็ไม่สามารถยับยั้งด้วย Strychnine ดังนั้นจากผลการศึกษานี้แสดงให้เห็น

ว่าตัวรับนี้เป็นตัวรับไกลซีน (Glycine receptor) หรือที่เรียกว่า Strychnine-sensitive glycine receptor หรือ Inhibitory glycine receptor

จากผลการศึกษาสารสกัดจากใบปี๊เหล็กโดย อุไร อรุณลักษณ์ (1949) ทำให้ทราบว่าสารสกัดนี้สามารถออกฤทธิ์ระบบประสาทส่วนกลาง ช่วยระงับประสาท และมีความเป็นพิษต่ำ หลังจากนั้นจึงมีการสกัดแยกสารสำคัญในใบปี๊เหล็กและพิสูจน์เอกลักษณ์ได้เป็นสารบาราคอล (Hassanali *et al.*, 1969; Wagner *et al.*, 1978) จึงมีความเป็นไปได้ที่สารบาราคอลอาจเป็นสารออกฤทธิ์หลักในใบปี๊เหล็ก

การวิจัยในครั้งนี้ เป็นการให้สารบาราคอลโดยตรงกับเซลล์ประสาทเดียวที่แยกออกจากหัวทันที จากสมองส่วนอัปปีป์แคมป์ของหนูขาว ที่ได้พิสูจน์แล้วว่ามีตัวรับภาราเออที่มีสมบัติตอบสนองได้ดีต่อสารภารา Diazeepam และ Pentobarbital sodium รวมทั้งสามารถยับยั้งได้ด้วย Bicuculline และ Picrotoxinin (รูปที่ 3-13) พบว่าสารบาราคอลในขนาดต่ำ คือ $10 \mu\text{M}$ เพิ่มฤทธิ์ของภาราเอ (รูปที่ 18) โดยสามารถเลื่อน GABA concentration-response curve ไปทางซ้าย ทำให้ค่า GABA EC₅₀ ลดลงอย่างมีนัยสำคัญทางสถิติ เมื่อนำมาศึกษาการเพิ่มน้ำดของบาราคอลที่มีต่อการเพิ่มฤทธิ์ของภาราความเข้มข้น $3 \mu\text{M}$ ซึ่งทำให้เกิดกระแสไฟล์เข้าเซลล์ประมาณร้อยละ 20 ของกระแสสูงสุดที่เกิดจากการให้ภาราความเข้มข้นสูง (EC₂₀) พบว่าสารบาราคอลเริ่มเห็นผลเพิ่มกระแสไฟล์เข้าเซลล์ที่เกิดการกระตุ้นด้วยภารา ที่ความเข้มข้น $1 \mu\text{M}$ และให้ผลเพิ่มฤทธิ์ภาราสูงสุดที่ความเข้มข้น $30 \mu\text{M}$ (รูปที่ 21-22) ซึ่งเมื่อเปรียบเทียบกับ Diazeepam จะเห็นว่า Diazeepam มีผลเพิ่มฤทธิ์ภาราตั้งแต่ความเข้มข้น $0.01 \mu\text{M}$ และให้ผลเพิ่มฤทธิ์สูงสุดที่ความเข้มข้น $1 \mu\text{M}$ (รูปที่ 21, 23) โดยมีผลเพิ่มฤทธิ์ภารา $184.8 \pm 9.97\%$ ($n=15$) ซึ่งสูงกว่าผลเพิ่มฤทธิ์ภาราของบาราคอลเล็กน้อย ($168.2 \pm 20.66\%$, $n=13$) โดยไม่แตกต่างอย่างมีนัยสำคัญทางสถิติ สำหรับ Pentobarbital sodium จะเริ่มเห็นผลเพิ่มฤทธิ์อย่างชัดเจนที่ความเข้มข้น $10 \mu\text{M}$ และให้ผลเพิ่มฤทธิ์สูงสุดที่ความเข้มข้น $300 \mu\text{M}$ (รูปที่ 21, 24) โดยมีผลเพิ่มฤทธิ์ภารา $482.3 \pm 32.54\%$ ($n=8$) ซึ่งสูงกว่าบาราคอล และ Diazeepam ประมาณ 2.5 เท่า

เมื่อเพิ่มความเข้มข้นของบาราคอลขึ้นมากกว่า $30 \mu\text{M}$ การเพิ่มฤทธิ์ภาราจะลดลง จนที่ความเข้มข้น $1000 \mu\text{M}$ ผลกระทบบาราคอล กลับให้ผลยับยั้งกระแสที่ไฟล์เข้าเซลล์ เมื่อเพิ่มความเข้มข้นเป็น 2000 และ $3000 \mu\text{M}$ ผลการยับยั้งจะเพิ่มขึ้นตามความเข้มข้นของบาราคอลที่เพิ่มขึ้น (รูปที่ 21-22) จากกราฟ GABA concentration-response curve (รูปที่ 26) จะเห็นได้ว่า บาราคอลความเข้มข้น 1000 และ $3000 \mu\text{M}$ ทำให้เส้นกราฟที่ได้เลื่อนไปทางขวาแบบบน ทำให้ค่า GABA EC₅₀ เพิ่มขึ้น โดยไม่เปลี่ยนแปลงการตอบสนองสูงสุด ซึ่งมีลักษณะคล้ายคลึงกับผลจาก Bicuculline (รูปที่ 7) ซึ่งเป็นสารต้านภารา

ชนิดแบ่งขั้นที่ตัวรับงานาเอ จึงอาจจะเป็นไปได้ที่บาราคอลขนาดสูงจะขับยึงฤทธิ์ของงานาต่อตัวรับงานาเอด้วยการแย่งจับที่บริเวณยึดเหนี่ยว กับงานา (GABA binding site) บนตัวรับงานาเอ แต่อย่างไรก็ตามต้องมีการวิจัยเพิ่มเติมรวมทั้งการยืนยันด้วยวิธีการวิจัยอื่น เพื่อให้ทราบกลไกที่แน่ชัดต่อไป

จากการที่บาราคอลขนาดความเข้มข้นต่ำสามารถเพิ่มฤทธิ์ของงานาที่ตัวรับงานาเอ และการที่สารบาราคอลเดี่ยวไม่มีผลกระตุ้นโดยตรงต่อเซลล์ประสาทที่ทำให้เกิดกระแสไฟลเข้าหรือออกจากเซลล์ทันที (รูปที่ 19) ซึ่งมีผลต่อตัวรับงานาเอคล้ายคลึงกับสาร Diazepam แต่แตกต่างจากเพิ่มฤทธิ์งานาที่ตัวรับงานาเออื่นที่มีทั้งฤทธิ์โดยตรงกระตุ้นตัวรับงานาเอหรือเพิ่มฤทธิ์งานา เช่น สาร Pentobarbital sodium (รูปที่ 13) (Study and Barker, 1981) หรือสารเพิ่มฤทธิ์งานาที่ตัวรับงานาเออื่นๆ เช่น Pregnanolone, Allopregnanolone, Etomidate, Sevoflurane (Wu *et al.*, 1996), และ Propofol (Hara *et al.*, 1994) เป็นต้น (Lambert *et al.*, 1997; Upton and Blackburn, 1997) ในการศึกษาครั้นนี้พบว่ามีเซลล์ประสาทที่แยกได้จำนวนหนึ่ง (6 เซลล์) ที่บาราคอลไม่มีผลเพิ่มฤทธิ์งานาที่ตัวรับงานาเอจากจำนวนเซลล์ทั้งหมดที่ศึกษา 39 เซลล์ ซึ่งอาจเป็นไปได้ที่บาราคอลจะมีความเฉพาะเจาะจงต่อหน่วยย่อย (subunit) บางชนิดของตัวรับงานาเอ จึงมีผลเพิ่มฤทธิ์งานาที่มีหน่วยย่อยนั้นเป็นองค์ประกอบ ซึ่งก็คล้ายคลึงกับ Diazepam (Möhler *et al.*, 1997; Upton and Blackburn, 1997) อย่างไรก็ตามยังต้องศึกษาเพิ่มเติมว่าบาราคอลมีความเฉพาะเจาะจงต่อหน่วยย่อย (subunit) บางชนิดของตัวรับงานาเอต่อไป จากเหตุผลข้างต้นในการศึกษาครั้นนี้จึงได้ใช้สาร Flumazenil ซึ่งเป็นสารต้าน Benzodiazepine ที่บริเวณยึดเหนี่ยวของ Benzodiazepine บนตัวรับงานาเอ ที่เฉพาะเจาะจง (Sieghart, 1995; Upton and Blackburn, 1997) มาขับยึงการเพิ่มฤทธิ์งานาของสาร Diazepam ซึ่งออกฤทธิ์ผ่านการจับที่บริเวณยึดเหนี่ยวของ Benzodiazepine บนตัวรับงานาเอ และบาราคอล ผลการศึกษาที่พบว่า Flumazenil ความเข้มข้น 5-15 μM สามารถขับยึงฤทธิ์ของ Diazepam (1 μM) ได้ (รูปที่ 28) ในขณะที่ Flumazenil ความเข้มข้น 15 μM ไม่สามารถขับยึงฤทธิ์ของบาราคอลความเข้มข้น 10 และ 30 μM (รูปที่ 29) แสดงให้เห็นว่าการเพิ่มฤทธิ์ของงานาที่ตัวรับงานาเอ ไม่ได้ออกฤทธิ์ผ่านบริเวณยึดเหนี่ยวของ Benzodiazepine จึงมีความจำเป็นที่จะต้องศึกษาต่อไปถึงบริเวณบนตัวรับงานาเอที่บาราคอลไปออกฤทธิ์

สำหรับการศึกษาผลของบาราคอลที่มีต่อตัวรับไกลเชิน พบร้าบาราคอลความเข้มข้นต่ำ (10-30 μM) ไม่มีผลต่อกระแสไฟลเข้าเซลล์ที่เกิดจากการกระตุ้นด้วยไกลเชิน (รูปที่ 30-31) แต่บาราคอลขนาดตั้งแต่ 100 μM ขึ้นไปถึง 1000 μM จะมีผลขับยึงฤทธิ์ของไกลเชิน (31-33) จากกราฟ Glycine concentration-response curve (รูปที่ 33) จะเห็นได้ว่า บาราคอลความเข้มข้น 100 และ 300 μM ทำให้เส้นกราฟที่ได้เลื่อนไปทางขวาแบบขนาน ทำให้ค่า EC_{50} เพิ่มขึ้น โดยไม่เปลี่ยนแปลงการตอบสนองสูงสุด ซึ่งมีลักษณะคล้ายคลึงกับผลจาก Strychnine (รูปที่ 17) ซึ่งเป็นสารต้านไกลเชินชนิดแบ่งขั้น

ที่ตัวรับไกลซีน จึงอาจจะเป็นไปได้ที่บาราโคลขนาดสูงจะยับยั้งฤทธิ์ของไกลซีนต่อตัวรับไกลซีนด้วย การแย่งจับที่บริเวณยึดเหนี่ยว กับไกลซีน (Glycine binding site) บนตัวรับไกลซีน แต่อย่างไรก็ตามต้อง มีการวิจัยเพิ่มเติมรวมทั้งการขึ้นยันด้วยวิธีการวิจัยอื่น เพื่อให้ทราบถูกต้องที่แน่นชัดต่อไป

จากการศึกษาในครั้งนี้ที่พบว่าบาราโคลซึ่งเป็นสารหลักที่สกัดได้จากใบบีเหล็ก มีฤทธิ์ 2 ลักษณะ ตรงกันข้าม คือ มีฤทธิ์เสริมฤทธิ์งานที่ตัวรับงานาเอ ในขนาดความเข้มข้นต่ำ ($10-30 \mu\text{M}$) และ มีฤทธิ์ยับยั้งงานาที่ตัวรับงานาเอ ในขนาดความเข้มข้นสูง ($1000-3000 \mu\text{M}$) รวมทั้งยับยั้งไกลซีนที่ตัวรับไกลซีน ในขนาดความเข้มข้น $100-1000 \mu\text{M}$ ซึ่งก็สอดคล้องกับการศึกษาทางเภสัชวิทยาพฤติกรรม ของพิกุล จันทร์ โยธา (1988) และ Tongroach และคณะ (1992) ที่พบว่าบาราโคลในขนาดต่ำ คือ $10-100 \text{ mg./kg.}$ (ฉีดเข้าช่องห้อง) จะมีฤทธิ์ลดการเคลื่อนไหวของหนูถีบจักร ทำให้สงบ (sedation) แต่ในขนาดที่สูงขึ้น เป็น $150-200 \text{ mg./kg.}$ (ฉีดเข้าช่องห้อง) จะมีฤทธิ์เพิ่มการเคลื่อนไหวและไวต่อการกระตุ้น เมื่อเพิ่มขนาดให้สูงขึ้นอีก เป็น $225-425 \text{ mg./kg.}$ (ฉีดเข้าช่องห้อง) พบว่าหนูถีบจักรจะเกิด อาการชักและตาย โดยมีค่าขนาดยาที่ทำให้หนูรู้อยละ 50 เกิดอาการชัก เท่ากับ 296.71 ($265.25-331.56$) mg./kg. (ฉีดเข้าช่องห้อง) และมีค่าขนาดยาที่ทำให้หนูรู้อยละ 50 เกิดการตาย เท่ากับ 324.09 ($302.36-347.39$) mg./kg. (ฉีดเข้าช่องห้อง)

สำหรับฤทธิ์คลายกังวลของสารบาราโคลยังมีข้อโต้แย้งกันอยู่ โดย Thongsaard *et al.* (1996) พบร่วมบาราโคลมีฤทธิ์คลายกังวลที่ขนาดยา 10 mg./kg. ฉีดเข้าช่องห้อง ขนาดที่สูงจะไม่มีฤทธิ์ แต่ Fiorino และคณะ (1998) พบร่วมบาราโคลไม่มีฤทธิ์ตั้งกล่าว แต่จากการศึกษานี้พบว่าบาราโคลขนาดต่ำ ($10-30 \mu\text{M}$) เพิ่มฤทธิ์งานาที่ตัวรับงานาเอได้ จึงมีความเป็นไปได้ที่สารบาราโคลจะมีฤทธิ์ด้านความวิตกกังวล (Antianxiety) อย่างไรก็ตามต้องหารูปแบบการทดลองที่เหมาะสมที่จะศึกษาฤทธิ์ด้านความวิตกกังวลของบาราโคลด้วย (Fiorino *et al.*, 1998)

จากการศึกษารั้งนี้จะเห็นได้ว่าบาราโคลขนาดต่ำสามารถเสริมฤทธิ์งานาต่อตัวรับงานาเอ ทำให้อาจพัฒนาบาราโคลขึ้นมาเป็นยาที่มีฤทธิ์ทำให้สงบ รักษาอาการวิตกกังวล แต่มีความจำเป็นอย่างยิ่งที่จะต้องมีการศึกษาความเป็นพิษของบาราโคล เนื่องจากมีรายงานของการใช้สมุนไพรบีเหล็กซึ่งมีผลข้างเคียงทำให้เกิดภาวะตับอักเสบเนื้บพลันในมนุษย์ (สมบัติ ตรีประเสริฐสุข และคณะ, 2543; Hongsirinirachorn *et al.*, 2001) อย่างไรก็ตามยังไม่สามารถสรุปได้ว่าภาวะดังกล่าวเกิดจาก บาราโคล หรือเกิดจากสารอื่น ดังนั้นจึงต้องมีการศึกษาต่อไปว่าสารบาราโคลทำให้เกิดพิษต่อบาราโคล ไม่ ขณะนี้ ได้มีหลายกลุ่มดำเนินการศึกษาอยู่ รวมทั้งกรมวิทยาศาสตร์การแพทย์ กระทรวงสาธารณสุข และคณะ เภสัชศาสตร์ จุฬาลงกรณ์มหาวิทยาลัย

ข้อสรุป

1. การพัฒนาการแยกเซลล์ประสาทเดี่ยวจากสมองของหนูขาว

สามารถแยกเซลล์ประสาทเดี่ยวจากสมองส่วน hippocampus ของหนูขาว อายุ 21-27 วัน ได้ โดยใช้เทคนิค Protease enzymatic treatment และ Trituration โดยเซลล์ประสาทรูปปิรามิดที่แยกได้ยังมีสมบัติตอบสนองต่อ gamma (GABA) และ ไกลซีน (Glycine) ได้ดี โดยมีจำนวนเซลล์ที่มีชีวิตและสามารถใช้ในการทดลองได้นานถึง 6 ชั่วโมงอย่างเพียงพอ

2. ผลของบาราโคลต่อตัวรับ gamma (GABA_A receptor) และตัวรับไกลซีน (Glycine receptor)

ในการศึกษาครั้งนี้พบว่า สารบาราโคลความเข้มข้นต่ำ 1-30 μM จะไม่มีผลต่อตัวรับไกลซีน (Glycine receptor) แต่สามารถเสริมฤทธิ์ gamma ที่ตัวรับ gamma (GABA_A receptor) ของเซลล์ประสาทรูปปิรามิดที่แยกออกมาก่อนย่างทันที จากสมองส่วน hippocampus ของหนูขาว เมื่อเปรียบเทียบกับ Diazepam พบว่าต้องใช้บาราโคลที่มีความเข้มข้นสูงกว่าเจ็ดเท่าในการเสริมฤทธิ์ไกลซีนเทียบกับการเสริมฤทธิ์โดย Diazepam ซึ่งผลในการเสริมฤทธิ์ gamma ของบาราโคลนี้ไม่สามารถยับยั้งด้วยสาร Flumazenil ซึ่งเป็นสารต้าน Benzodiazepine ที่บริเวณยึดเหนี่ยว Benzodiazepine (Benzodiazepine binding site) บนตัวรับ gamma ในขณะที่สารบาราโคลความเข้มข้นสูง 1000-3000 μM จะยับยั้งฤทธิ์ของ gamma ที่ตัวรับ gamma และขนาด 100-1000 μM จะยับยั้งไกลซีนที่ตัวรับไกลซีน ซึ่งลักษณะการยับยั้ง gamma และไกลซีนของบาราโคลความเข้มข้นสูงมีลักษณะคล้ายคลึงกับสารต้านชนิดแข่งขัน (competitive antagonist) ของตัวรับนั้น คือ Bicuculline (สารต้าน gamma ที่ตัวรับ gamma) และ Strychnine (สารต้านไกลซีนที่ตัวรับไกลซีน) นอกจากนี้บาราโคลไม่มีผลกระทบตื้น โดยตรงต่อเซลล์ประสาทรูปปิรามิดในการทำให้เกิดกระแสไฟล์ผ่านเยื่อหุ้มเซลล์ ในสภาวะการทดลองนี้

ข้อเสนอแนะ

จากผลการศึกษาที่สามารถแยกเซลล์ประสาทเดียวออกจากสมองส่วนอิปโปเคนปั๊สของหนูขาวได้ พบว่ายังคงมีเซลล์ประสาทจำนวนหนึ่งซึ่งมีชีวิตอยู่และสามารถนำมาใช้ในการศึกษาโดยใช้เทคนิคแพทช์แคลมป์ (Patch clamp) โดยตอบสนองต่อการให้สารกากบาทะไกลเซ็น ซึ่งเทคนิคในการแยกเซลล์และเทคนิคแพทช์แคลมป์นี้จะเป็นรูปแบบ (Model) ที่สามารถนำมาใช้ในงานวิจัยที่ใช้ในการศึกษาสรีรวิทยาไฟฟ้าของเซลล์ประสาทเดียวได้ อย่างไรก็ตามยังคงต้องการการศึกษาผลของการใช้สารสื่อประสาทด้วยน้ำ เช่น Acetylcholine, Glutamate, 5-Hydroxytryptamine และ ATP เพื่อศึกษาถึงตัวรับชนิดอื่นๆ ในกลุ่มช่องไอออนที่กระตุ้นให้เปิดด้วยลิแกนด์ (Ligand-gated ion channels) นอกจากนี้วิธีการแยกเซลล์นี้ยังสามารถประยุกต์และพัฒนาไปใช้สำหรับสมองส่วนอื่นๆ และใช้ในงานวิจัยทางวิทยาศาสตร์การแพทย์และวิทยาศาสตร์ชีวภาพอื่นๆ ที่ใช้เซลล์ประสาทเป็นตัวอย่างในงานวิจัยได้

สำหรับการศึกษาผลของสารบาราโคลที่มีต่อตัวรับกากบาทะไกลเซ็นของเซลล์ประสาทนี้ ยังคงต้องการการศึกษาเพิ่มเติมถึงกลไกการที่สารบาราโคลขนาดคำเดริมฤทธิ์สามารถทำตัวรับกากบาทะไกลเซ็นและในขนาดสูงที่สามารถยับยั้งได้ทั้งตัวรับกากบาทะไกลเซ็น และผลของบาราโคลที่มีต่อตัวรับอื่นที่เกี่ยวข้อง เพื่อให้เข้าใจถึงกลไกการออกฤทธิ์ของสารบาราโคลย่างละเอียด ซึ่งจะเป็นข้อมูลพื้นฐานในการพัฒนาสารนี้ต่อไป อย่างไรก็ตามเนื่องจากมีรายงานว่าสมุนไพรนี้เหล็กทำให้เกิดภาวะตับอักเสบเฉียบพลันได้ จึงต้องมีการศึกษาถึงพิษของบาราโคลทั้งแบบเฉียบพลัน แบบก่อเรื้อรัง และแบบเรื้อรังต่อไปด้วย

สถาบันวิทยบริการ
จุฬาลงกรณ์มหาวิทยาลัย

ส่วนอ้างอิง

- พิกุล จันทร์โยธา (1988) ฤทธิ์ของบารากอล, สารสกัดจากใบอ่อนของต้นบี๊เก็กต่อระบบประสาทส่วนกลาง. วิทยานิพนธ์เภสัชศาสตร์มหาบัณฑิต, จุฬาลงกรณ์มหาวิทยาลัย.
- สมบัติ ศรีประเสริฐสุข, มงคล วงศ์ศิรินรชร และ อనุชิต จุฑะพุทธิ (2543) การตับอักเสบจากสมุนไพร “บี๊เก็ก” บทเรียนเพื่อการพัฒนาสมุนไพรไทย. วารสารคลินิก. 186: 385-390.
- อุไร อรุณลักษณ์ (1949) การศึกษาเภสัชวิทยาของใบบี๊เก็ก. สารคิริราช, 1: 434-444.
- Barnard E.A., Skolnick P., Olsen R.W., Mohler H., Sieghart W., Biggio G., Braestrup C., Bateson A.N. and Langer S.Z. (1998) International Union of Pharmacology. XV. Subtypes of γ -aminobutyric acid receptors: Classification on the basis of subunit structure and receptor function. *Pharmacol. Rev.*, 50: 291-313.
- Betz H. (1991) Glycine receptors : Heterogeneous and widespread in the mammalian brain. *Trend Neurosc.*, 14 : 458-461.
- Bhengsri S. (1996) *Detection and localization of barakol binding sites in rat brains* A thesis submitted for the degree of Master of Science, Chulalongkorn University, Bangkok.
- Bowery N.G. (2000) GABA_A receptors : Structure and function. In Martin D.L. and Olsen R.W. (eds.) *GABA in the Nervous System. The View at Fifty Years*, pp. 233-244, Lippincott Williams & Wilkin : Philadelphia.
- Chaichantipyuth C. (1979) *A phytochemical study of the leaves of Cassia siamea and Cassia spectabilis*. A thesis submitted for the degree of Master of Science in Pharmacy, Chulalongkorn University, Bangkok.
- Chen F.S., Ito H., Okabe F., Momose Y., Yamamura S., Ridtitid W., Chaichantipyuth C., Leelasangaluk V. and Tongroach P. (1999) Effects of barakol on aconitine-induced cardiac arrhythmias. *Pharm.Biol.*, 37: 105-108.
- Danysz W. and Parsons C. (1998) Glycine and N-methyl-D-aspartate receptors: Physiological significance and possible therapeutic application. *Pharmacol. Rev.*, 50 (4): 597-664.
- Fiorino D.F., Treit D., Menard J., Lermer L. and Phillips A.G. (1998) Is barakol anxiolytic? *Behav.Pharmacol.*, 9: 375-378.

- Hamil O.P., Marty A., Neher E., Sakmann B. and Sigworth F.J. (1981) Improved patch clamp technique for high-resolution current recording from cell and cell-free membrane patches. *Pfluger Arch.*, **391**: 85-100.
- Hara M., Kai Y. and Ikemoto Y. (1994) Propofol activates GABA_A receptor-chloride ionophore complex in dissociated hippocampal pyramidal neurones of the rat. *Anesthesiology*, **79**: 781-787.
- Hassanali A., King T.J. and Wallwork S.C. (1969) Barakol, a novel dioxaphenalen derivative from *Cassia Siamea*. *Chem. Comm.*, 678.
- Hongsirinirachorn M, Threprasertsul S. and Chutaputti A. (2001) Hepatitis associated with barakol: Case report. *Thai J. Gastroenterol.*, **2** : 17-21.
- Kaneda M., Nakamura H., and Akaike N. (1988) Mechanical and enzymatic isolation of mammalian CNS neurons, *Neuroscience Res.*, **5** : 299-315.
- Kaoeaw K. (1992) Iodination reaction and evaluation of sedative action of barakol, the main ingredient extracted from the young leaves of *Cassia siamea* Lamk. A thesis submitted for the degree of Master of Science, Srinakharinwirot University, Bangkok.
- Kay A.R. and Wong R.K. (1986) Isolation of neurons suitable for patch-clamping from adult mammalian central nervous systems. *J. Neurosci. Methods*, **16** (3):227-38.
- Kira T., Harata N., Sakata T. and Akaike N. (1998) Kinetics of sevoflurane action on GABA- and glycine-induced currents in acutely dissociated rat hippocampal neurons. *Neuroscience*, **85** (2): 383-394.
- Kuhse J., Betz H. and Kirsch J. (1995) The inhibitory glycine receptor: architecture, synaptic localization and molecular pathology of a postsynaptic ion-channel complex. *Curr. Opin. Neurobiol.*, **5**: 318-323.
- Lambert J.J., Belelli D., Pistis M., Hil-Venning C. and Peters J.A. (1997) The interaction of intravenous anesthetic agents with native and recombinant GABA_A receptors. An electrophysiological study. In Enna S.J. and Bowery N.G. (eds.) *The GABA Receptors.*, pp. 121-156, Humana Press : New Jersey.
- Macdonald R.L. and Olsen R.W. (1994) GABA_A receptor channels. *Annu. Rev. Neurosci.*, **17**: 569-602.
- Maksay G., Laube B. and Betz H. (2001) Subunit-specific modulation of glycine receptors by neurosteroids. *Neuropharmacology*, **41** : 369-376.

- Malosio M.L., Marqueze-Pouey B., Kuhse I and Betz H. (1991) Widespread expression of glycine receptor subunit mRNAs in the adult and developing rat brain. *Eur. Molec. Biol. Org. J.*, **10** : 2401-2409.
- Möhler H., Benke D., Benson J., Lüscher B., Rudolph U. and Fritschy J.M. (1997) Diversity in structure, pharmacology and regulation of GABA_A receptors. In Enna S.J. and Bowery N.G. (eds.) *The GABA Receptors.*, pp. 11-36, Humana Press : New Jersey.
- Neher E. and Sakmann B. (1976) Single-channel currents recorded from membrane of denervated frog muscle fibres, *Nature*. **260**: 799-802.
- Penner R. (1995) A Practical guide to patch clamping, in Sakmann B. and Neher E. (eds.) *Single Channel Recording*. 2nd ed., pp.3-30, New York: Plenum Press.
- Pickering T.E., Spanswick D. and Logan S.D. (1993) Whole-cell patch-clamp recording from neurones in spinal cord slices, in Wallis D.I. (ed.), *Electrophysiology : A practical approach*, pp. 169-188, New York : Oxford University Press.
- Rajendra S., Lynch J.W. and Schofield P.R. (1997) The glycine receptor. *Pharmacol. Ther.*, **73** (2): 121-146.
- Sakmann B., Hamil O.P. and Bormann J. (1983) Patch-clamp measurements of elementary chloride currents activated by the putative inhibitory transmitters GABA and glycine in mammalian spinal neurones. *J Neural Transm. Suppl.*, **18**: 83-95.
- Sakmann B. and Stuart G. (1995) Patch-pipette recordings from the soma, dendrites, and axon of neurones in brain slices, in Sakmann B. and Neher E. (eds.) *Single Channel Recording*. 2nd ed., pp.199-211, New York: Plenum Press.
- Sieghart W. (1995) Structure and pharmacology of γ -aminobutyric acid_A receptor subtypes. *Pharmacol. Rev.*, **47**: 181-234.
- Sieghart W., Fuchs K., Tretter V., Ebert V., Jechlinger M., Hoger H and Adamiker D. (1999) Structure and subunit composition of GABA_A receptors. *Neurochem. Int.*, **34**: 379-385.
- Sooksawate T. and Simmonds M.A. (1998) Increase membrane cholesterol reduces the potentiation of GABA_A currents by neurosteroids in dissociated hippocampal neurones. *Neuropharmacology*, **37**: 1103-1110.
- Sooksawate T. and Simmonds M.A. (2001) Effects of membrane cholesterol on the sensitivity of GABA_A receptor to GABA in acutely dissociated hippocampal neurones. *Neuropharmacology*, **40**: 178-184.

- Stanfeld C. and Mathie A. (1993) Recording membrane currents of peripheral neurones in short-term culture, in Wallis D.I. (ed.) *Electrophysiology, A practical approach*. pp. 3-28, New York : Oxford University Press.
- Study R.E. and Barker J.L. (1981) Diazepam and (-) pentobarbital : Fluctuation analysis reveals different mechanisms for potentiation of γ -aminobutyric acid responses in cultured central neurons. *Proc. Natl. Acad. Sci. USA*, **78**: 7180-7184.
- Suwan G., Sudsuang R., Dhamma-Upakorn P. and Werawong C. (1992) Hypotensive effects of barakol extracted from leaves of *Cassia siamea* Lam. in rats and cats. *Thai. J. Physiol.*, **5**: 53-65.
- Thongsaard W., Deachapunya C., Pongsakorn S., Boyd E.A., Bennett G.W. and Marsden C.A. (1996) Barakol: a potential anxiolytic extracted from *Cassia siamea*. *Pharmacol.Biochem.Behav.*, **53**: 753-758.
- Thongsaard W., Pongsakorn S., Sudsuang R., Bennett G.W., Kendall D.A., and Marsden C.A. (1997) Barakol: a natural anxiolytic, inhibits striatal dopamine release but not uptake in vitro . *Eur. J. Pharmacol.*, **319**: 157-164.
- Tongroach P., Jantarayota P., Tantisira B., Kanluan P., Tongroach C. and Chaichantipyuth C. (1992) Barakol, a neuroactive compound from *Cassia siamea*. *Proceeding of the First JSPS-NRCT Joint Seminar in Pharmaceutical Sciences; Advance in Research on Pharmacologically Active Substances from Natural Sources*. Chiang Mai, Thailand, p. OP21.
- Triller A., Cluzeaud F., Pfeiffer F., Betz H. and Korn H. (1985) Distribution of glycine receptors at central synapses: an immunoelectron microscopy study. *J. Cell Biol.*, **101** : 683-688.
- Upton N. and Blackburn T. (1997) Pharmacology of mammalian GABA_A receptors. In Enna S.J. and Bowery N.G. (eds.) *The GABA Receptors*., pp. 83-120, Humana Press : New Jersey.
- Wagner H., ElSayyad A.M., Seligmann O. and Chari V.M. (1978) Chemical constituents of *Cassia siamea* Lam., I. 2-methyl-5-acetyl-7-hydroxychromone (Cassiachromone). *J. Med. Plant Res.*, **33**: 258-261.
- Whitting P.J. (1999) The GABA_A receptor gene family: new targets for therapeutic intervention. *Neurochem. Int.*, **34** : 387-390.
- Wu J., Harata N. and Akaike N. (1996) Potentiation by sevoflurane of the gamma-aminobutyric acid-induced chloride current in acutely dissociated CA1 pyramidal neurones from rat hippocampus. *Br. J. Pharmacol.*, **119** (5): 1013-1021.

Young A.B. and Snyder S.H. (1973) Strychnine binding associated with glycine receptors of the central nervous system. *Proc. Natl. Acad. Sci. USA*, **70** : 2832-2836.



สถาบันวิทยบริการ จุฬาลงกรณ์มหาวิทยาลัย